





Memoria técnica 2.1.- Evaluación del nivel de ruido submarino originado por fuentes acústicas de origen natural en la ZEC ES7020124 Costa de Garafía durante las estaciones de primavera y verano Lote 1

Junio 2025

LIFE IP INTEMARES Gestión integrada, innovadora y participativa de la Red Natura 2000 en el medio marino español









Autoría:

- DC Servicios Ambientales SL
- Daida Cristina Almeida Navarro, J. Francisco Domínguez Yanes, Diego Antoñanzas Francisco, Gabriel Herrera Quintana y Javier Cenzual Miñano



Coordinación y revisión:

Fundación Biodiversidad del Ministerio para la Transición Ecológica y el Reto Demográfico (MITECO). Revisión del documento por parte del MITECO.

Edita:

El proyecto LIFE IP INTEMARES, que coordina la Fundación Biodiversidad del Ministerio para la Transición Ecológica y el Reto Demográfico, avanza hacia un cambio de modelo de gestión eficaz de los espacios marinos de la Red Natura 2000, con la participación activa de los sectores implicados y con la investigación como herramientas básicas para la toma de decisiones.

Participan como socios el propio ministerio, a través de la Dirección General de Biodiversidad, Bosques y Desertificación; la Junta de Andalucía, a través de la Consejería de Sostenibilidad, Medio Ambiente y Sostenibilidad, así como de la Agencia de Medio Ambiente y Agua; el Instituto Español de Oceanografía del Consejo Superior de Investigaciones Científicas; AZTI; la Universidad de Alicante; la Universidad Politécnica de Valencia; la Confederación Española de Pesca, SEO/BirdLife y WWF-España. Cuenta con la contribución financiera del Programa LIFE de la Unión Europea.

































Fecha de edición

08/07/2025







LIFE15 IP ES012 - INTEMARES

Evaluación del nivel de ruido submarino originado por fuentes acústicas de origen natural en la ZEC ES7020124 Costa de Garafía.

APLI0032

Índice

1.	RESUMEN EJECUTIVO	3
2.	INTRODUCCIÓN	5
3.	ÁREA DE ESTUDIO: ZEC COSTA DE GARAFÍA (ES7020124)	7
4.	•	
4	ł.1. Ubicación del fondeo	g
4	l.2. Diseño y descripción del fondeo	10
	l.3. Tratamiento de datos acústicos	
5.	RESULTADOS	18
	5.1. Periodo completo	18
	5.2. Periodo de primavera	21
	5.3. Periodo de verano	24
6.	CONCLUSIONES	
7.	BIBLIOGRAFÍA	33
8.	LEGISLACIÓN	34
9	ANEXO L CARTOGRAFÍA	30







1. RESUMEN EJECUTIVO

Las acciones englobadas dentro del presente trabajo se encuentran relacionadas con el descriptor 11 "Ruido submarino" de las Estrategias Marinas, que pretende definir el Buen Estado Ambiental (BEA) del medio marino con respecto a este impacto. Se considera de especial relevancia ya que esta es una de las presiones antrópicas que afectan a las especies marinas presentes en las áreas marinas protegidas. En este sentido, el objetivo final de esta actuación es que, a través del estudio de datos sonoros mediante el fondeo de hidrófonos en zonas con baja concurrencia de actividades antrópicas, se pueda obtener información relevante que sirva para determinar unos niveles de referencia de ruido ambiente marino, completando los vacíos de conocimiento existentes.

En el presente estudio, se ha fondeado un hidrófono en la costa norte de la isla de La Palma, dentro de la ZEC ES7020124 Costa de Garafía. Se llevo a cabo la grabación en continuo de los períodos de primavera y verano del año 2024, obteniendo datos de los 3 meses completos de primavera, y de un mes del periodo de verano.

Durante el periodo de observación, a través del estudio de los distintos valores de presión sonora (SPL) y su distribución temporal y frecuencial en distintas bandas de tercio de octava, se identificaron patrones acústicos que permiten caracterizar el ambiente submarino y sus posibles fuentes de ruido, tanto naturales como antropogénicas.

En la banda de 63 Hz, los niveles de ruido son prácticamente estables entre estaciones, con diferencias menores a 1 dB. En la banda de 125 Hz, aunque los percentiles bajos y medianos aumentan ligeramente (\approx 1 dB), el percentil 95% disminuye de 91.3 dB en primavera a 87 dB en verano, lo que indica menor ocurrencia de eventos puntuales intensos en esa banda.

En la banda de 2000 Hz se observa un incremento claro en todos los percentiles en durante el verano. El percentil 5% pasa de 78.3 a 84.7 dB, lo que sugiere que incluso los niveles más bajos son más elevados en esta estación. Este tipo de frecuencias puede relacionarse con embarcaciones más pequeñas, ecosondas u otras actividades humanas que se intensifican en verano.

En las frecuencias más altas (8000 Hz y 16000 Hz) los valores obtenidos son elevados en comparación con lo que se esperaría de una zona como la estudiada, de forma que habría que realizar más estudios para llegar a alguna conclusión que explique estos valores.

Con los datos obtenidos, se puede concluir que el periodo de primavera parece estar marcado por eventos acústicos puntuales de mayor intensidad en frecuencias bajas. No obstante, no existen diferencias significativas entre ambas estaciones.







EXECUTIVE SUMMARY

The actions included in this work are related to descriptor 11 'Underwater noise' of the Marine Strategies, which aims to define the Good Environmental Status (GES) of the marine environment with respect to this impact. It is considered to be of particular relevance as this is one of the anthropic pressures affecting marine species present in marine protected areas. In this sense, the final objective of this action is that, through the study of sound data by means of hydrophone anchoring in areas with low concurrence of anthropic activities, relevant information can be obtained that can be used to determine reference levels of marine ambient noise, filling in the existing gaps in knowledge.

In this study, a hydrophone was anchored off the north coast of the island of La Palma, within the ES7020124 Costa de Garafía SAC. Continuous recording was carried out during the spring and summer periods of the year 2024, obtaining data for the entire 3 months of spring and one month of the summer period.

During the observation period, through the study of the different sound pressure level (SPL) values and their temporal and frequency distribution in different third octave bands, acoustic patterns were identified that allow us to characterise the underwater environment and possible sources of underwater noise, both natural and anthropogenic.

In the 63 Hz band, noise levels are practically stable between seasons, with differences of less than 1 dB. In the 125 Hz band, although the low and median percentiles increase slightly (≈ 1 dB), the 95% percentile decreases from 91.3 dB in spring to 87 dB in summer, indicating less occurrence of intense point events in that band.

In the 2000 Hz band, there is a clear increase in all percentiles during the summer. The 5% percentile rises from 78.3 to 84.7 dB, suggesting that even lower levels are higher in this season. This type of frequencies may be related to smaller vessels, echo sounders or other human activities that intensify in summer.

At the higher frequencies (8000 Hz and 16000 Hz) the values obtained are high compared to what would be expected for an area such as the one studied, so further studies would have to be carried out to reach a conclusion to explain these values.

With the data obtained, it can be concluded that the spring period seems to be marked by acoustic events of higher intensity at low frequencies. However, there are no significant differences between the two seasons.







2. INTRODUCCIÓN

El proyecto LIFE IP-PAF INTEMARES "Gestión integrada, innovadora y participativa de la Red Natura 2000 en el medio marino español" tiene como objetivo conseguir una red consolidada de espacios marinos Natura 2000 gestionada de manera eficaz e integrada, con la participación activa de los sectores implicados, con la investigación como herramienta básica para la toma de decisiones y bajo la oportunidad de contribuir a un modelo de desarrollo asentado en la sostenibilidad y en la innovación.

El proyecto está coordinado por la Fundación Biodiversidad del Ministerio para la Transición Ecológica y el Reto Demográfico (MITECO), que actúa también como socio a través de la Dirección General de Biodiversidad, Bosques y Desertificación. Participan como socios además el Instituto Español de Oceanografía, la Confederación Española de Pesca, SEO/BirdLife, WWF-España, la Consejería de Sostenibilidad, Medio Ambiente y Economía Azul y la Agencia de Medio Ambiente y Agua de Andalucía de la Junta de Andalucía, AZTI, la Universidad de Alicante y la Universidad Politécnica de Valencia.

El medio marino es el escenario de multitud de actividades humanas que de una u otra manera generan impacto. De las distintas actividades que contribuyen a generar polución acústica submarina se destaca el tráfico marítimo, relacionado principalmente con la emisión de energía al medio en el espectro de las bajas frecuencias (<1kHz), aunque esto depende del tipo de embarcación, de su velocidad, y de la motorización y actividad que desarrolle, aspectos que se desarrollarán más adelante.

Las acciones englobadas dentro del presente trabajo se encuentran relacionadas con el descriptor 11 "Ruido submarino" de las Estrategias Marinas, que pretende definir el Buen Estado Ambiental (BEA) del medio marino con respecto a este impacto. Se considera de especial relevancia ya que esta es una de las presiones antrópicas que afectan a las especies marinas presentes en las áreas marinas protegidas.

Los diferentes efectos negativos de un elevado ruido submarino sobre la fauna marina, sobre todo cetáceos, están ampliamente estudiados. Se ha verificado que el ruido submarino afecta de manera negativa a diferentes organismos acuáticos si se sobrepasa cierto valor umbral durante un tiempo de exposición determinado (Erbe et al., 2019). El potencial impacto negativo sobre mamíferos marinos, en concreto los cetáceos, se debe a que estos utilizan el sonido para realizar diferentes funciones vitales básicas como orientarse en el medio, alimentarse, reproducirse, comunicarse, etc. (Thomsen et al., 2023). La NOAA (National Oceanic and Atmospheric Administration), en su documento "2024 Technical Guidance for Assessing the efects of Antropogenic Sound on Marine Mammal Hearing (Version 3.0) Underwater and In-Air Criteria for Onset of Auditory Injury and Temporary Threshold Shifts", establece ciertos umbrales a partir de los cuales pueden producirse estos enmascaramientos en las comunicaciones y cambios en el comportamiento animal (TTS), así como umbrales donde se podrían producir daños permanentes (PTS). En este caso, estos trastornos auditivos, así como los barotraumas, no son competencia del D11, aunque este pretende definir un estado base para establecer medidas que prevengan este tipo de impactos.







En este sentido, el objetivo final de esta actuación es que, a través del estudio de datos sonoros mediante el calado de hidrófonos en zonas con baja concurrencia de actividades antrópicas, se pueda obtener información relevante que sirva para determinar unos niveles de referencia de ruido ambiente marino, completando los vacíos de conocimiento existentes (Martín-García et al., 2015).











3. ÁREA DE ESTUDIO: ZEC COSTA DE GARAFÍA (ES7020124)

Las áreas marinas protegidas incluyen diversas figuras de protección, entre las que destacan las de la Red Natura 2000. La Red está formada por las Zonas Especiales de Conservación (ZEC) y por los Lugares de Importancia Comunitaria (LIC) hasta su transformación en ZEC, establecidas de acuerdo con la Directiva 92/43/CE relativa a la conservación de los hábitats naturales y de la fauna y flora silvestres (o Directiva Hábitats), y por las Zonas de Especial Protección para las Aves (ZEPA), designadas en aplicación de la Directiva 2009/147/CE relativa a la conservación de las aves silvestres, o Directiva Aves. En el territorio nacional se han declarado 1.468 LICs.

La ZEC ES7020124 Costa de Garafía, se emplaza en el norte de la isla de La Palma, en el archipiélago canario (Ilustración 1). Se trata de una ZEC de índole marina, las coordenadas UTM Huso 28N WGS84 de su centro geométrico son X: 218.215, Y: 3.194.808. Esta ZEC cubre una superficie de 3.475,355 ha, y presenta tres Hábitats de Interés Comunitario (HICs). En la actualidad la zona de estudio contiene 7 elementos de interés comunitario. Estos son los HIC bancos de arena cubiertos permanentemente por agua marina, poco profunda (1110), arrecifes (1170) y cuevas marinas sumergidas y semisumergidas (8330), y las especies *Caretta caretta* (1224), *Tursiops truncatus* (1349), *Chilomycterus atringa* (5601) y *Scyllarides latus* (1090) (Tabla 1).

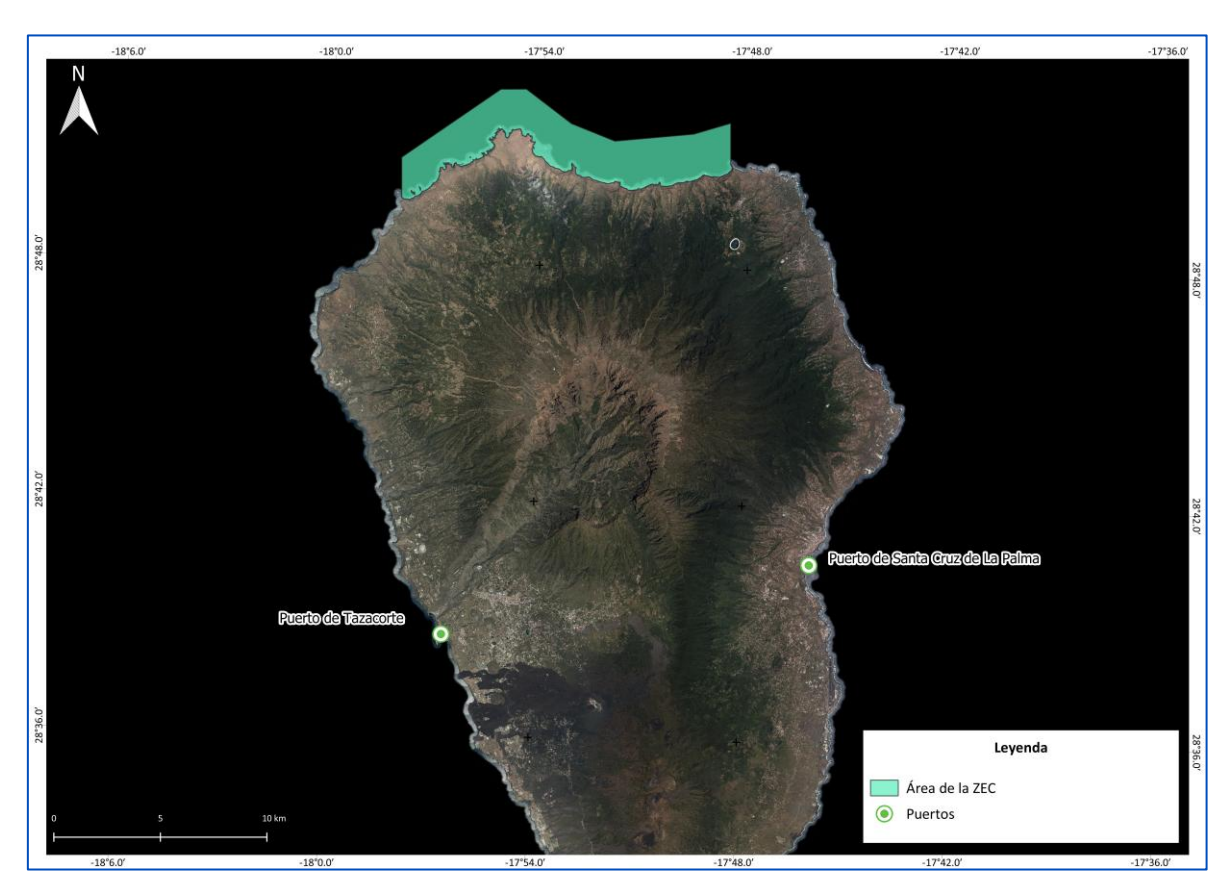


Ilustración 1. Localización de la ZEC Costa de Garafía (ES7020124).











Tabla 1. Listado de Especies de Interés Comunitario y Hábitats de Interés Comunitario presentes en la ZEC Costa de Garafía.

Especie de Interés Comunitario		
Clase Reptilia Caretta caretta		
Clase Mammalia	Tursiops truncatus	1349
Clase Actinopterygii	Chilomycterus atringa	5601
Clase Malacostraca	Scyllarides latus	1090
Hábitat de Interés Comunitario		
Bancos de arena cubiertos permanentemente por agua marina, poco profunda		1110
Arrecifes		
Cuevas marinas sumergidas o semisumergidas		8330

En el plan de gestión de la ZEC se recogen los usos (principalmente buceo recreativo) y zonificación con respecto al HIC 8330 (Ilustración 2).

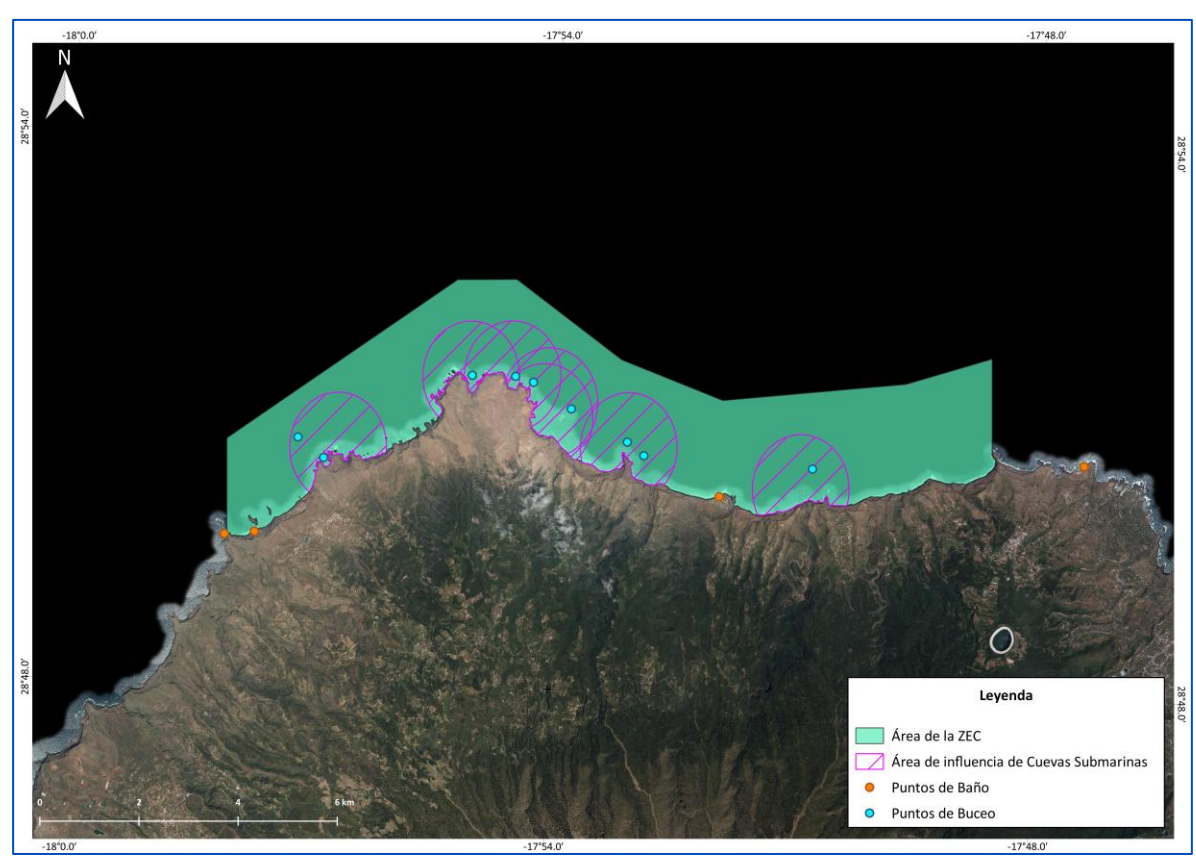


Ilustración 2. Zonificación de la ZEC. Mapa elaborado a partir de datos del Plan de Gestión de la ZEC Costa de Garafía.











4. METODOLOGÍA

En el presente apartado se describe la instrumentación utilizada para la obtención de los datos acústicos, así como la metodología utilizada en la grabación y en el posterior tratamiento de los datos.

4.1. Ubicación del fondeo

El punto de fondeo se localiza dentro de la ZEC Costa de Garafía, y ha sido aprobado con anterioridad por el equipo responsable del Proyecto, según lo recogido en la Memoria técnica 1.

Tabla 2. Coordenadas y profundidad del punto de fondeo.

Profundidad	Coordenadas UTM (WGS84 - Huso 28N)	
	X	Y
35 m	217.951	3.194.644



Ilustración 3. Localización del punto de fondeo.









Esta localización tiene las características idóneas para la instalación de un fondeo con el objetivo de toma de datos de ruido submarino de origen natural:

- Fondo eminentemente llano, de pendiente baja y constante.
- No existen elementos abruptos cercanos que puedan alterar las frecuencias y direccionalidad del ruido.
- Fondo de sustrato blando, que absorben las ondas sonoras en mayor medida que los sustratos duros.
- Presencia mínima de fuentes de ruido submarino antropogénico.
- Baja densidad de tráfico marítimo.
- No existen obras marítimas cercanas, ni presencia de zonas de acuicultura.

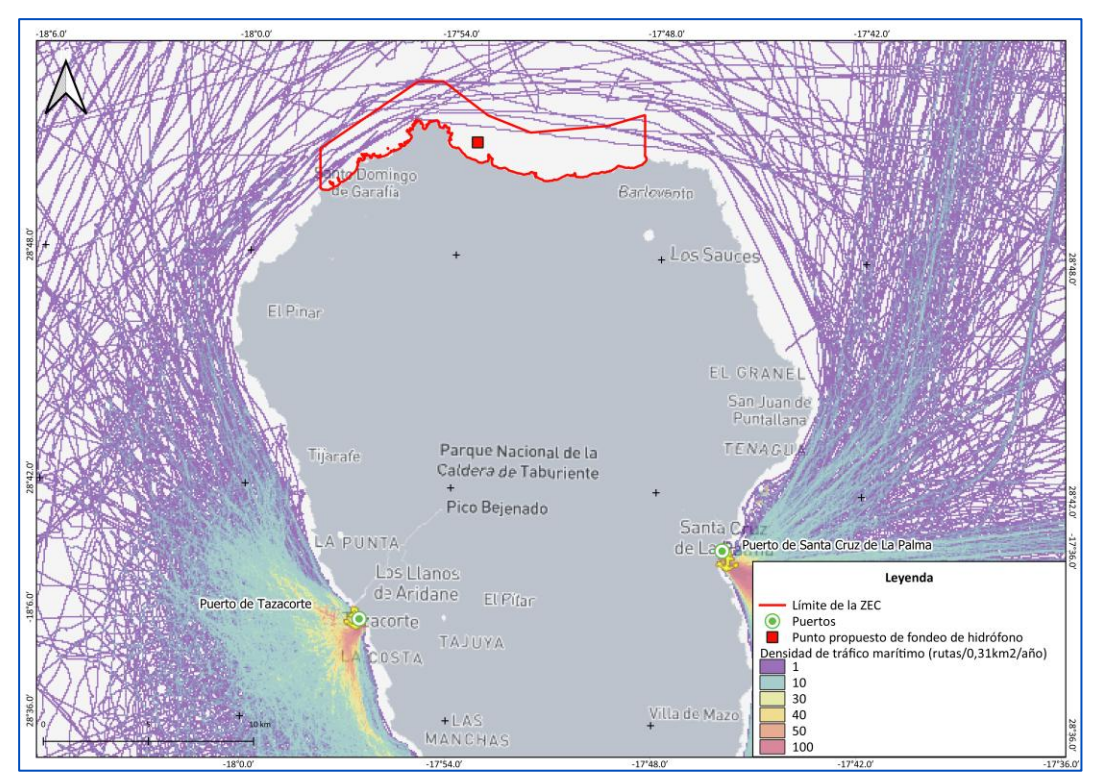


Ilustración 4. Densidad de tráfico marítimo. Mapa elaborado a partir de los datos de MarineTraffic.com. Datos de noviembre del 2022 a noviembre del 2023.

4.2. Diseño y descripción del fondeo

El fondeo del hidrófono consta de los componentes necesarios para su instalación, funcionamiento y posterior recuperación exitosa. Los componentes se recogen en la Tabla 3.

El diseño del fondeo atiende principalmente a tres características clave: estabilidad, recuperabilidad y evitación de ruido no deseado por partes móviles. El hidrófono está fijado a un mástil de sujeción. Este mástil de sujeción elevará la posición del hidrófono a unos 1,5 m del fondo, evitando fenómenos de reverberación. El mástil consiste en una varilla de acero con un enganche en su parte superior, que permitirá su posterior







recuperación. Este mástil va fijo al lastre, que consiste en un prisma rectangular de hormigón marino de unos $0.35 \times 0.25 \times 0.15$ m y unos 27 kg aproximados (peso en aire). Cabe destacar que este diseño carece de partes móviles que puedan influenciar con ruido los datos muestreados.

Tabla 3. Características de los elementos constituyentes del fondeo.

Elemento	Cantidad	Peso en aire	Peso en agua	Flotabilidad
				neta
Lastre de	1	≈ 27 kg	≈ 15,75 kg	≈ - 15,75 kg
hormigón		(0,3 x 0,25 x 0,15 m)		
marino				
Mástil de	1	≈2 kg	≈ 1,5 kg	≈- 1,5 kg
sujeción				
Hidrófono	1	0,1 kg	≈ 0,1 kg	≈ - 0,1 kg
Grabadora	1	4,9 kg	1,6 kg	≈ - 1,6 kg
	Total	34,1 kg	18,95 kg	≈ - 18,95 kg

El equipo de grabación consta de un hidrófono Colmar SC0190 con una banda de trabajo de 5 Hz a 180 kHz, junto con una grabadora RTsys Sylence-LP con una capacidad de grabación de 512 kS/s. Algunas de las especificaciones técnicas del hidrófono y de la grabadora se detallan en la Tabla 4.

Tabla 4. Características técnicas del hidrófono y de la grabadora.

Hidrófono Colmar SC0190		
Ancho de banda	5 Hz - 180 kHz	
High – pass filter	3Hz	
Sensibilidad	-175 dB re 1V/uPa	
Direccionalidad	Esférico – Omnidireccional	
Máxima profundidad de trabajo	3500 m	
Cuerpo	Acero inoxidable AISI 316 o POMC	
Grabadora RT	Sys Sylence -LP	
Longitud	440 mm	
Diámetro	100 mm	
Profundidad de grabación	1000 m	
Capacidad de almacenamiento	2 TB	

La obtención de los datos se ha realizado siguiendo las características reflejadas en la Tabla 5.

Tabla 5. Características para el procesado de los datos.

Características para el procesado de los datos		
Modelo equipo de grabación	RTsys Sylence – LP; Colmar SC0190	
Nomenclatura de archivos	channelA_fecha_hora	
Formato de los datos brutos	.wav	
Sensibilidad	-175 re 1V/uPa	





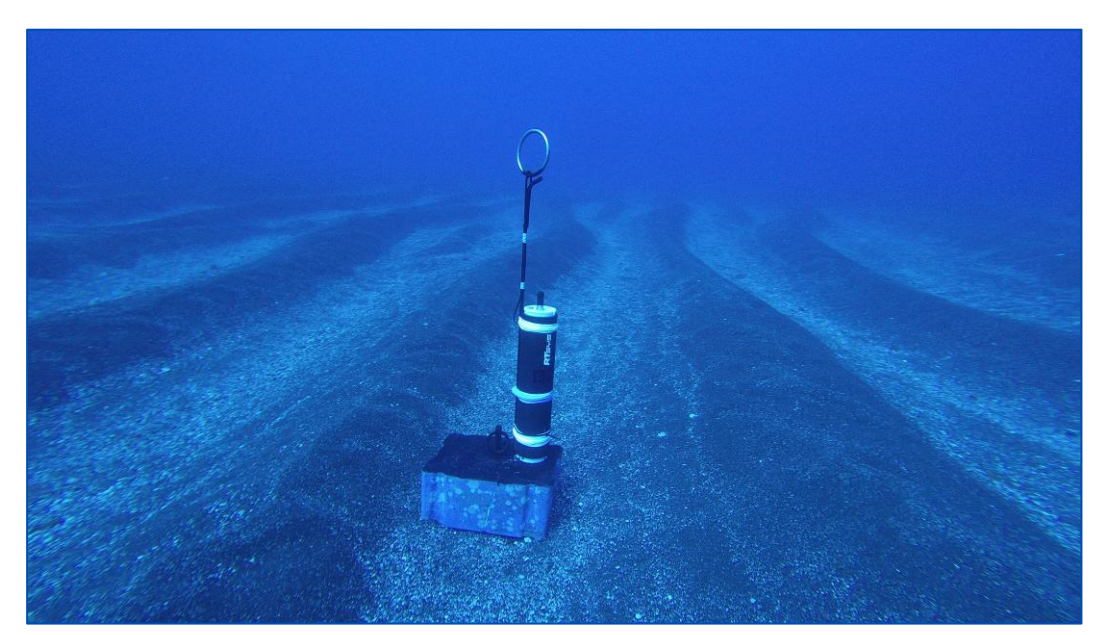






Características para el procesado de los datos			
Frecuencia de muestreo	64 kS/s		
Factor de amplificación	15 dB re1/V		
High – pass filter	3Hz		
Periodo de grabación primavera	14/03/2024 - 26/06/2024		
Periodo de grabación verano	05/08/2024 - 06/09/2024		
Duty Cycle (ON/OFF)	100%/0%		

El fondeo se realizó el día 14 de marzo de 2024. A través de una embarcación se llega al punto seleccionado, donde se baja el muerto con el hidrófono mediente un cabo hasta el fondo marino. Tras la puesta, se bajó el ROV para filmar el fondeo y comprobar que se ha posado correctamente en el fondo.



Fotografía 1. Imagen del fondeo puesto en la ZEC Costa de Garafía.

El día 5 de agosto, se vuelve a la zona para realizar un mantenimiento del fondeo y descargar los primeros datos. Mediante el ROV, se realiza la extracción del fondeo; ya en superficie, se limpia el grabador y el hidrófono, eliminando las algas y pequeños invertebrados que se han adherido a su estructura. Finalmente, se cambian las baterías, se extraen los datos y se reprograma, volviendo a echar el fondeo al agua en el mismo punto.

El dia 6 de septiembre se realiza otra visita de mantenimiento, siguiendo el mismo protocolo de actuación descrito anteriormente.

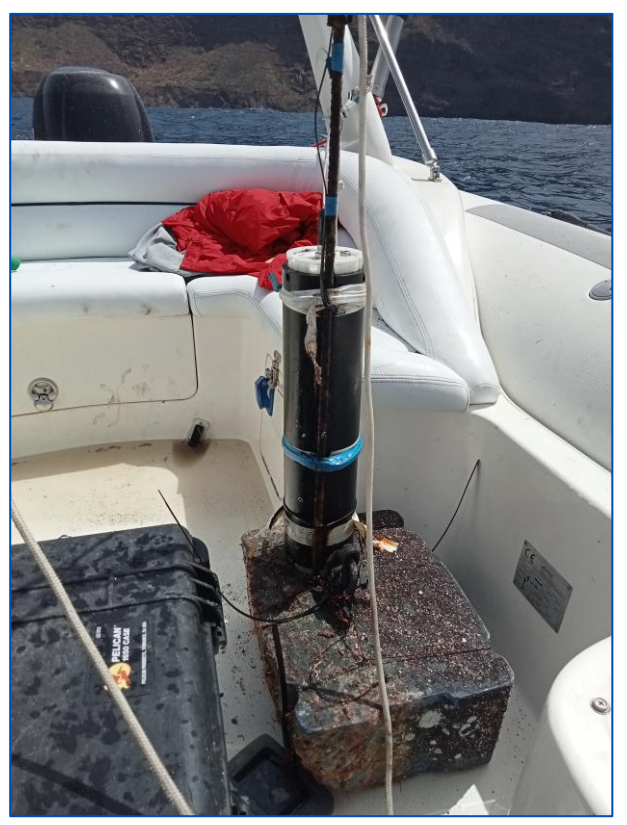












Fotografía 2. Imagen del hidrófono tras su recuperación.

Tras la revisión de los datos, se observa que el hidrófono, durante el primer período, dejó de grabar el día 26 de junio, por lo que se tienen datos de 3 meses de los 5 que estuvo fondeado hasta la primera actuación de mantenimiento, correspondiendo con los meses de primavera. Del segundo periodo se obtienen todos los datos del mes de grabación, correspondiente al periodo de verano. Finalmente, se tienen datos del 14 de marzo de 2024 hasta el 26 de junio de 2024, y del 5 de agosto de 2024 hasta el 6 de septiembre de 2024.

4.3. Tratamiento de datos acústicos

Para determinar los niveles de ruido emitidos al medio se tuvo como referencia para el método de trabajo la *Ley 41/2010 de 29 de diciembre, de protección del medio marino,* transpuesta a partir de la Directiva Marco de Estrategias Marinas (DMEM). Para el seguimiento acústico estandarizado se utilizó la *Decisión (UE) 2017/848 de la comisión de 17 de mayo de 2017, por la que se establecen los criterios y las normas metodológicas aplicables al buen estado medioambiental de las aguas marinas, así como las especificaciones y métodos normalizados de seguimiento de evaluación, y por la que se deroga la Decisión 2010/447/UE.* En esta decisión se establecen los criterios e indicadores que se han de seguir para las mediciones del nivel de ruido. Para el seguimiento acústico se distinguen dos tipos de ruido:









- **Ruido impulsivo**: entendido como aquel sonido capaz de generar repercusiones negativas graves durante periodos muy cortos de tiempo. Los indicadores son:
 - Nivel de exposición sonora (siglas en inglés, SEL): Puede usarse tanto en ruido continuo si se mide durante un intervalo de tiempo específico, como también en ruido impulsivo, cuyo uso está más extendido. SEL representa la energía total acumulada del ruido durante ese intervalo, siendo útil cuando se necesita correlacionar el impacto acumulativo sobre organismos marinos, como la exposición total al ruido durante un periodo.

$$SEL = 10 \log_{10} \int_{0}^{T} \frac{P^{2}(t)}{P_{ref}^{2}} dt$$

Nivel de presión sonora pico, (siglas en inglés, SPLpeak) con unidades de dB pico re 1μPa m representa el nivel de presión acústica máxima durante un evento de ruido, siendo la unidad recomendada para el ruido impulsivo. Su ventaja es que captura los picos instantáneos característicos de eventos impulsivos. Es crítico en contextos donde el daño biológico depende del pico máximo, como en organismos que experimentan trauma auditivo.

$$N_{0-p} = 20\log_{10}(\frac{P_{pico}}{P_{ref}})$$

• Ruido continuo, es aquel que representa el nivel promedio de presión acústica en un periodo de tiempo. Es útil para medir sonidos continuos, ya que proporciona una estimación de la energía acústica promedio que puede afectar al entorno marino. Su ventaja es que representa la potencia global del ruido continuo de forma más representativa. Su uso se recomienda en evaluaciones de ruido ambiental submarino a largo plazo, como el tráfico marítimo o el uso de maquinaria subacuática.

La unidad de medida utilizada es el RMS (Root Mean Square):

$$RMS = \sqrt{\frac{1}{T} \int_0^T |x(t)|^2 dt}$$

Las presiones sonoras en unidades de micropascales (μ Pa) son detectadas por los hidrófonos por medio de voltajes, de forma que las unidades de referencia para la sensibilidad de los mismos son $1V/\mu$ Pa. Estas unidades de presión obtenidas por dicha relación es lo que permite obtener las intensidades sonoras en unidades de decibelios, partiendo de la siguiente expresión logarítmica:

$$dB = 20 \log_{10} \left(\frac{P}{P_{ref}} \right)$$

donde P es la presión sonora (en µPa).











En función de las mediciones que se vayan a realizar, esta expresión logarítmica cambia, de modo que, aunque las unidades de referencia obtenidas sean decibelios (dB) no se está haciendo referencia a las mismas presiones sonoras, y por tanto no son los mismos resultados.

A la hora de estudiar las presiones sonoras es necesario tener en cuenta que existen muchos factores que condicionan la propagación de las ondas sonoras en el medio marino, como son la profundidad, salinidad, temperatura, etc. que modifican las propiedades de transmisión del sonido, y que a su vez afectan a la divergencia, absorción, refracción y dispersión del sonido.

Mediante software específico de programación, se realizaron los espectrogramas parciales, por cada hora, mediante una Transformada Rápida de Fourier (FFT), así como los oscilogramas, donde se puden apreciar las variaciones de intencidad sonora, detectando eventos de mayor intensidad, como el paso de barcos. La Ilustración 5 muestra un espectrograma donde se aprecia el efecto Doppler, que ocurre cuando hay un movimiento relativo entre una fuente de sonido y un observador; en este caso representa el paso de un barco por las inmediaciones del hidrófono. La Ilustración 6 representa el oscilograma asociado al espectrograma, donde se muestra la amplitud de la onda.

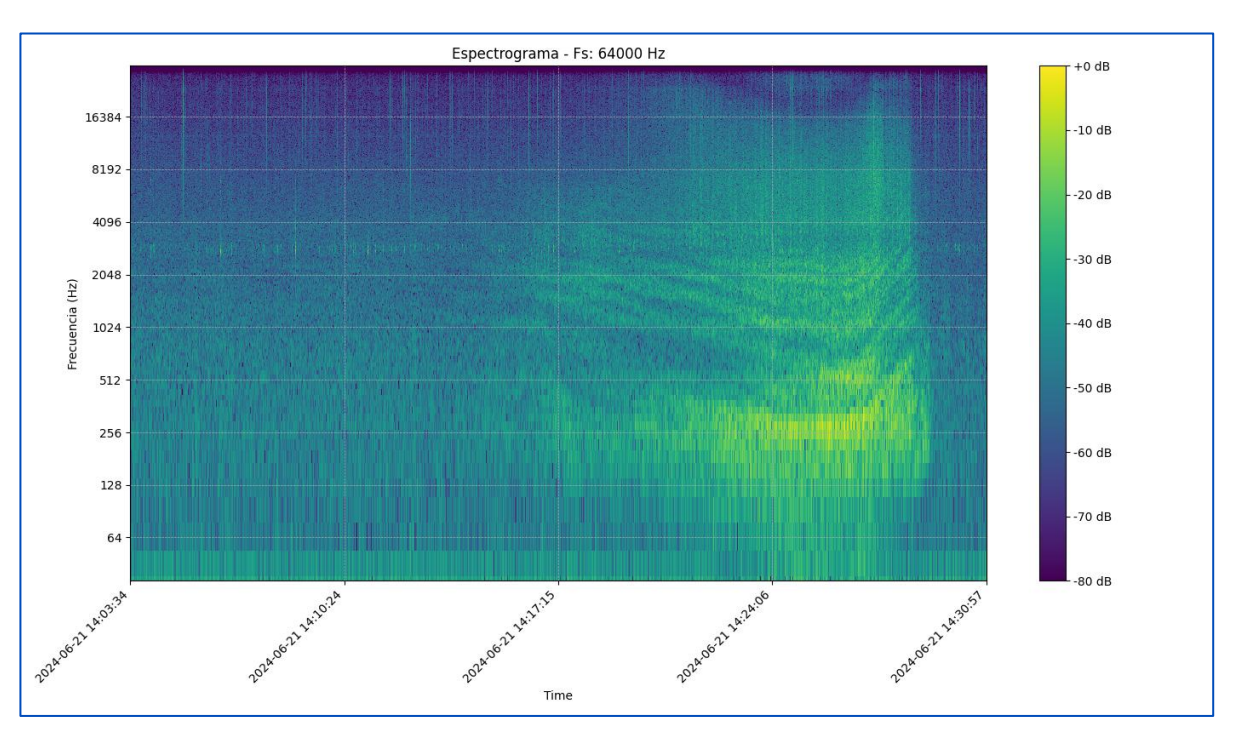


Ilustración 5. Espectrograma donde se muestra un efecto Doppler causado por el paso de una embarcación.











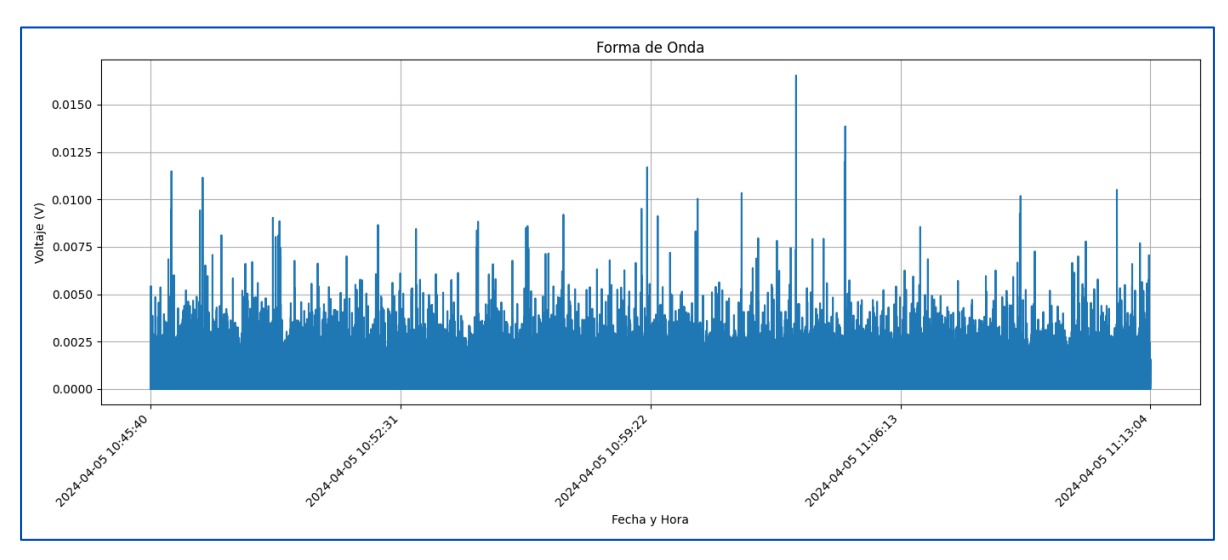


Ilustración 6. Oscilograma asociado al espectrograma.

Gracias a los espectrogramas, y a la localización de eventos donde existe variación en las intensidades sonoras, es posible acudir posteriormente a los audios para intentar detectar de qué se trata, paso de barcos, eventos naturales como tormentas, etc. En la Ilustración 7 se aprecia un evento de mayor intensidad, que tras la escucha del correspondiente audio, se determinó que se trataba de un evento de lluvia.

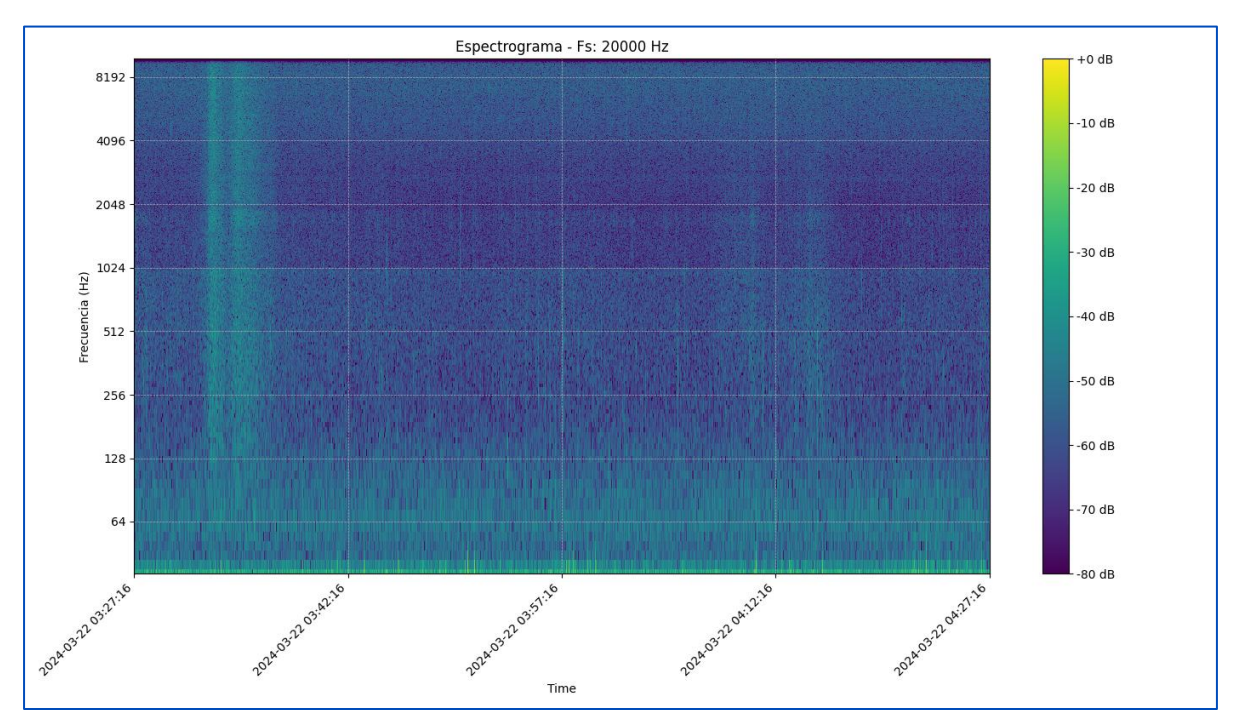


Ilustración 7. Espectrograma donde se representa un fenómeno de lluvias fuertes que aumentan la intensidad del espectro sonoro.







Tras este primer procesado, se realiza un cálculo de los distintos valores de presión sonora en diferentes bandas de tercio de octava (63 Hz, 125 Hz, 2000 Hz, 8000 Hz y 16000 Hz), así como el cálculo de los diferentes percentiles para cada banda.

Estos valores se representan mediante diferentes gráficas temporales, donde se pueden apreciar las variaciones de los niveles de presión sonora a lo largo del período de grabación. Por otro lado, también se representan gráficas temporales de los periodos de primavera y verano, siendo el periodo de primavera representado desde el 20 de marzo al 20 de junio (3 meses), y el periodo de verano desde el 5 de agosto hasta el 6 de septiembre (1 mes).











5. RESULTADOS

5.1. Periodo completo

A continuación, se representan los distintos valores de presión sonora (SPL) en las diferentes bandas de tercio de octava estudiadas (63 Hz, 125 Hz, 2000 Hz, 8000 Hz y 16000 Hz) a lo largo de todo el periodo muestreado. Por otro lado, se representan también la distribución de los percentiles para cada una de las bandas.

El salto que se observa separa los dos periodos de grabación. El primero abarca desde el 14 de marzo hasta el 26 de junio, donde se produjo un parón repentino en la grabación, mientras que el segundo periodo abarca desde el 5 de agosto hasta el 6 de septiembre.

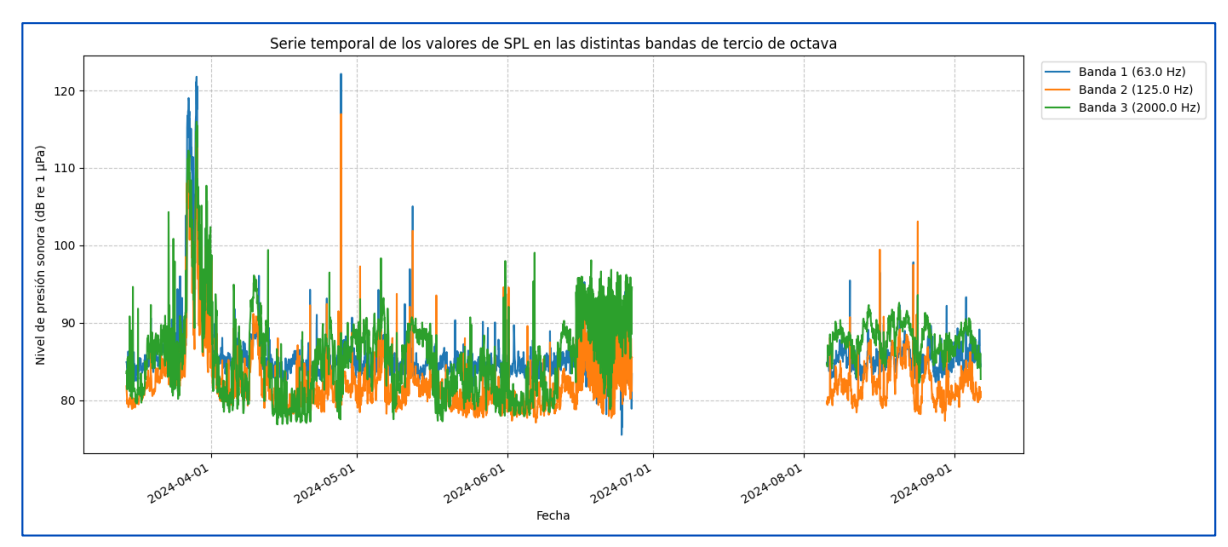


Gráfico 1. Serie temporal de los niveles de presión sonora en las diferentes bandas de tercio de octava.

Al observar los niveles de presión sonora en las diferentes bandas de tercio de octava (Gráfico 1), se observa bastante homogeneidad.

A continuación, se representan las variaciones de los valores de SPL para los diferentes percentiles en cada una de las bandas estudiadas.









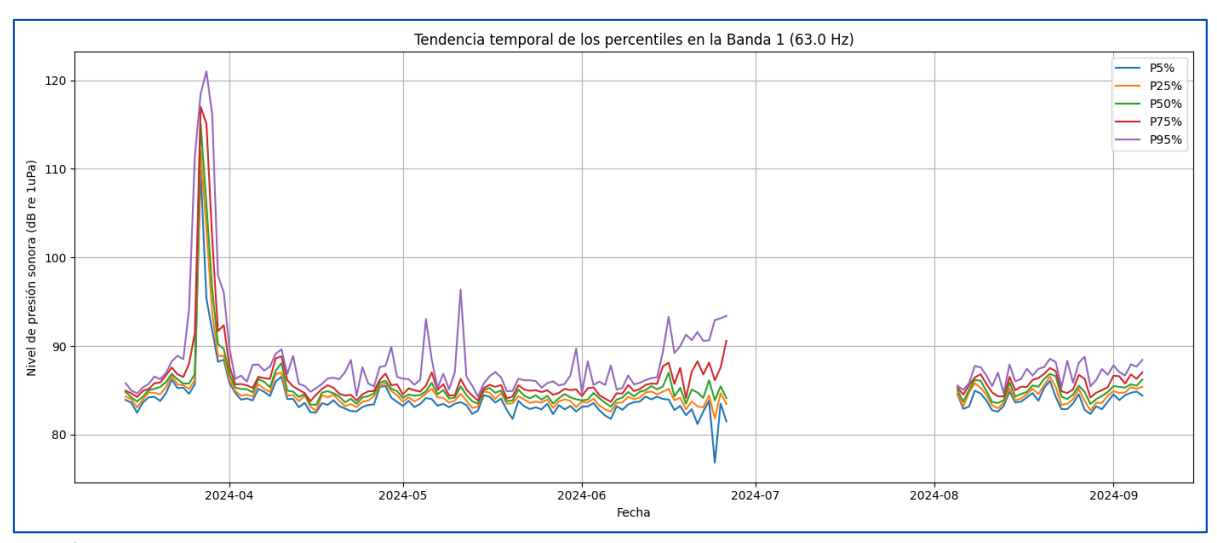


Gráfico 2. Serie temporal de los niveles de SPL en los percentiles 5, 25, 50, 75 y 95, de la banda de 63Hz, calculados para una ventana temporal de integración de 1 hora.

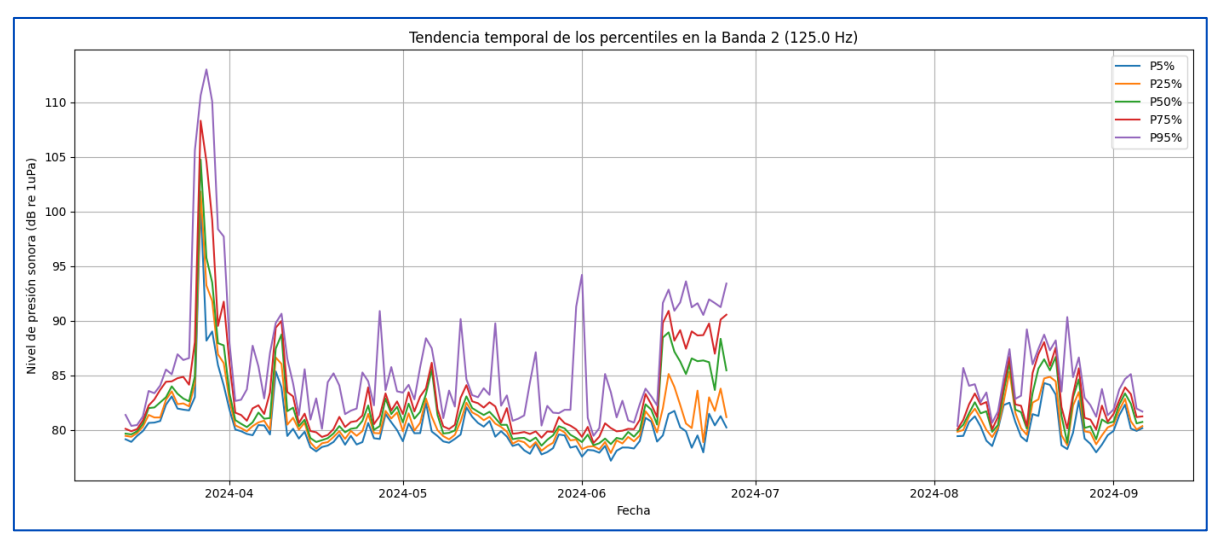


Gráfico 3. Serie temporal de los niveles de SPL en los percentiles 5, 25, 50, 75 y 95, de la banda de 125Hz, calculados para una ventana temporal de integración de 1 hora.

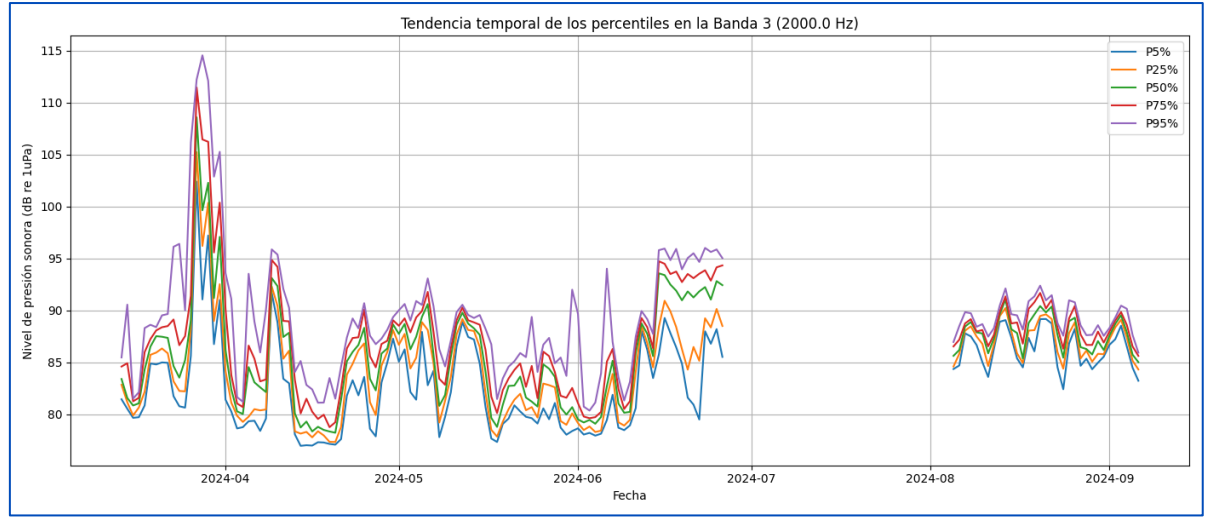


Gráfico 4. Serie temporal de los niveles de SPL en los percentiles 5, 25, 50, 75 y 95, de la banda de 2 KHz, calculados para una ventana temporal de integración de 1 hora.







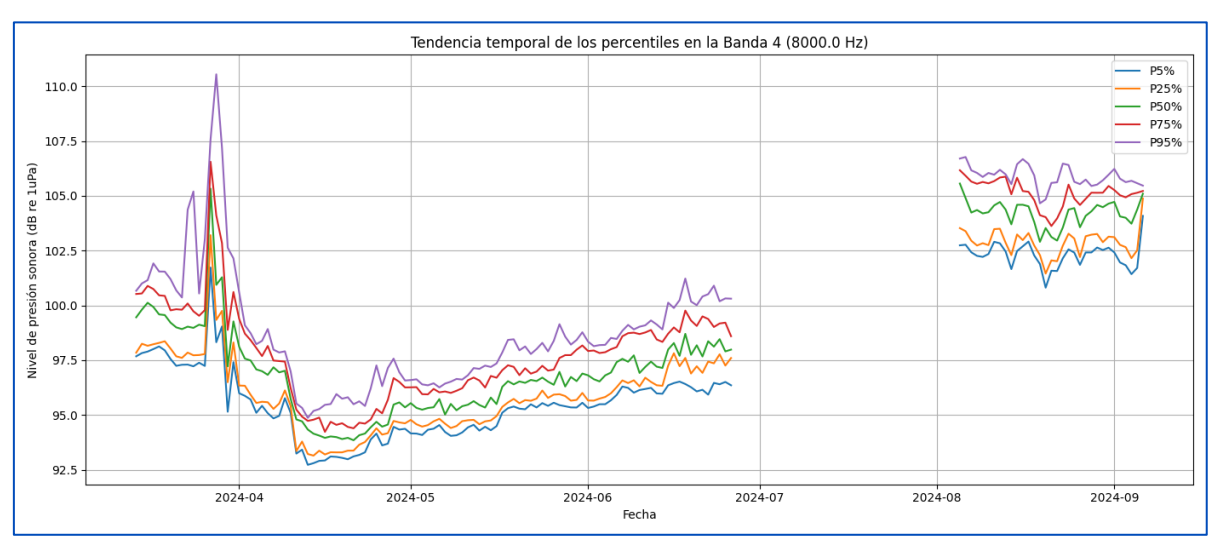


Gráfico 5. Serie temporal de los niveles de SPL en los percentiles 5, 25, 50, 75 y 95, de la banda de 8 KHz, calculados para una ventana temporal de integración de 1 hora.

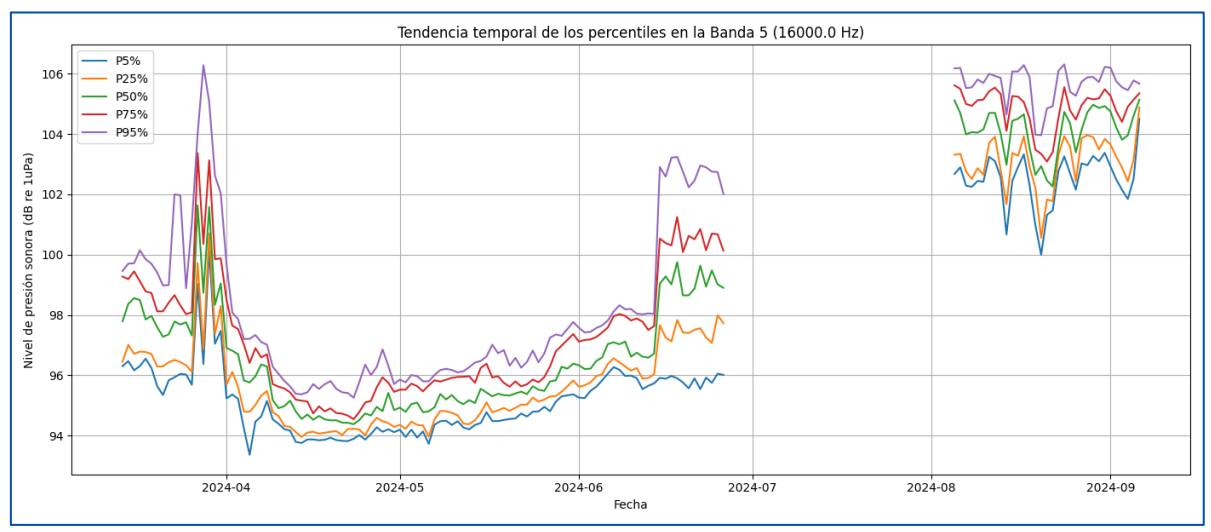


Gráfico 6. Serie temporal de los niveles de SPL en los percentiles 5, 25, 50, 75 y 95, de la banda de 16 KHz, calculados para una ventana temporal de integración de 1 hora.

Los valores detectados en las bandas más altas, de 8 y 16 kHz, son valores de SPL algo altos en relación a lo que se cabría esperar en una zona como la estudiada. Habría que estudiar más en profundidad la zona para llegar a alguna conclusión que explique estos valores.

Por otro lado, los valores de SPL obtenidos en las bandas de 63, 125 y 2000 Hz muestran valores que concuerdan con lo esperado en un entorno de poca influencia antropogénica.











5.2. Periodo de primavera

Para el periodo de primavera, se han procesado los datos desde el día 20 de marzo al 20 de junio, siendo un total de tres meses de datos acústicos medidos en continuo.

Tanto al comienzo como al final del periodo, existen unos días en los que aumenta de forma notable la intensidad del ruido, siendo el periodo entre estos dos eventos algo más constante. Este aumento prolongado de la intensidad sonora, tras la revisión de los espectrogramas y los audios, no parece estar relacionado con ruido antropogénico.

Las bandas de 63 Hz y 125 Hz parecen ser las más variables en términos de nivel de presión sonora. Son frecuencias comúnmente asociada a fuentes como motores de embarcaciones, por lo que su variación encaja con el trasiego de embarcaciones que pasan por la zona.

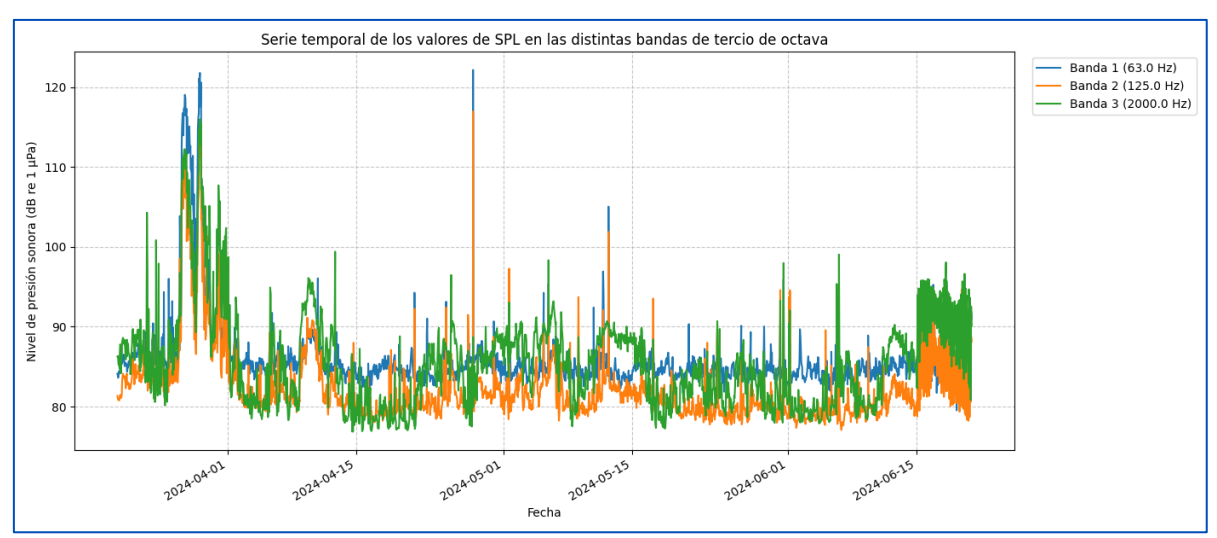


Gráfico 7. Serie temporal de los niveles de presión sonora en las diferentes bandas de tercio de octava, durante el periodo de primavera.

A continuación, se representan las variaciones de los valores de SPL para los diferentes percentiles en cada una de las bandas estudiadas.







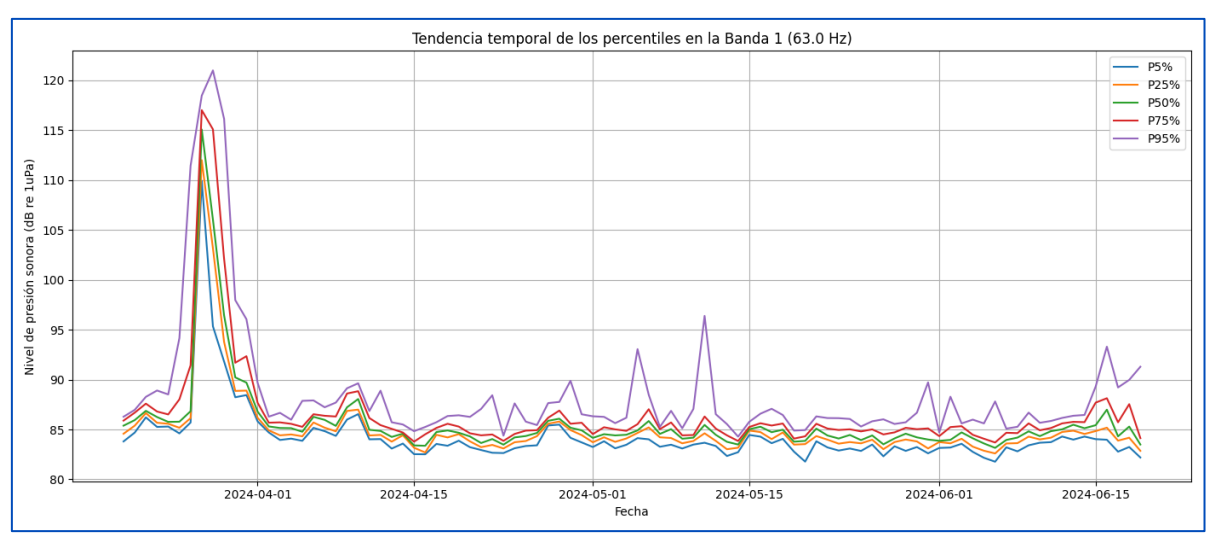


Gráfico 8. Serie temporal de los niveles de SPL en los percentiles 5, 25, 50, 75 y 95, de la banda de 63Hz, calculados para una ventana temporal de integración de 1 hora. Periodo de primavera.

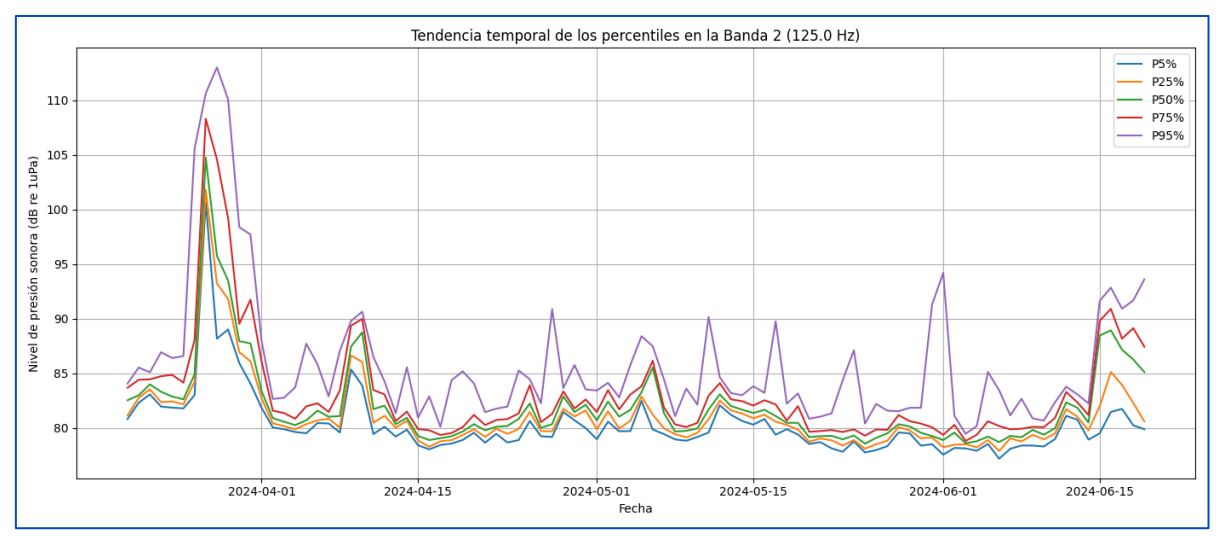


Gráfico 9. Serie temporal de los niveles de SPL en los percentiles 5, 25, 50, 75 y 95, de la banda de 125Hz, calculados para una ventana temporal de integración de 1 hora. Periodo de primavera.

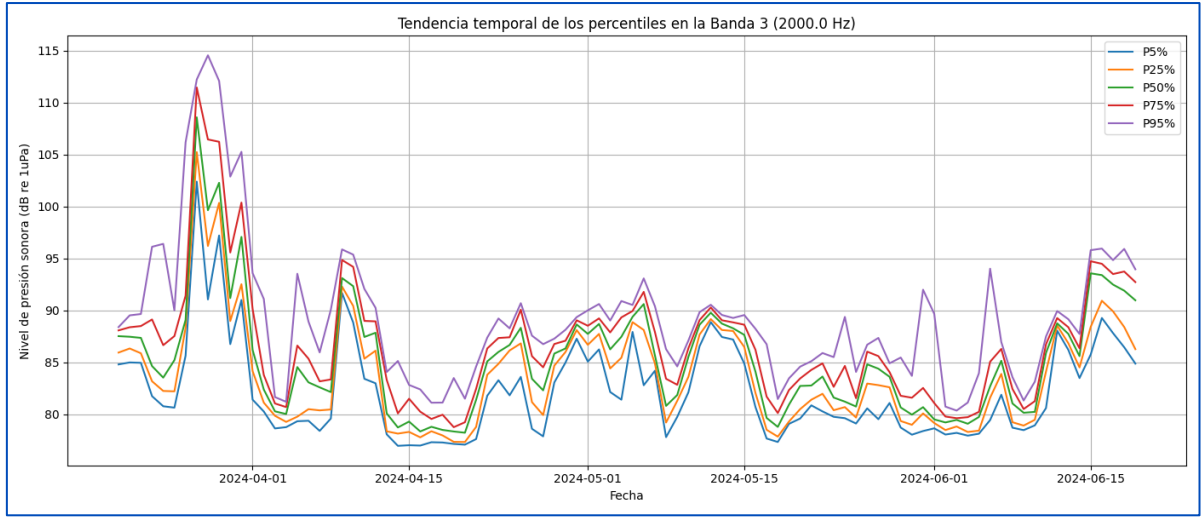


Gráfico 10. Serie temporal de los niveles de SPL en los percentiles 5, 25, 50, 75 y 95, de la banda de 2 KHz, calculados para una ventana temporal de integración de 1 hora. Periodo de primavera.











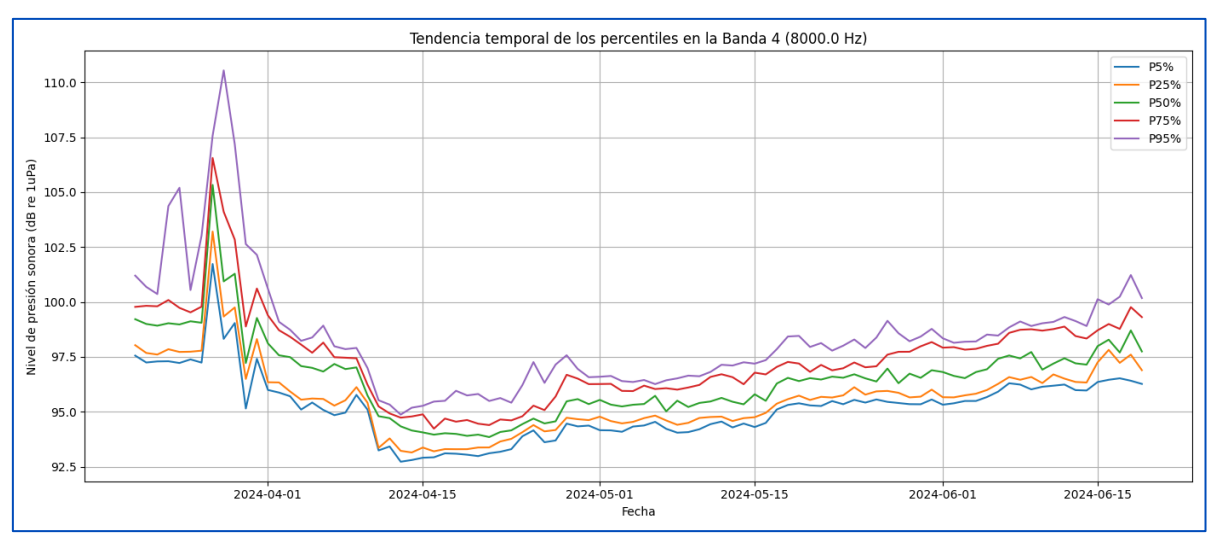


Gráfico 11. Serie temporal de los niveles de SPL en los percentiles 5, 25, 50, 75 y 95, de la banda de 8 KHz, calculados para una ventana temporal de integración de 1 hora. Periodo de primavera.

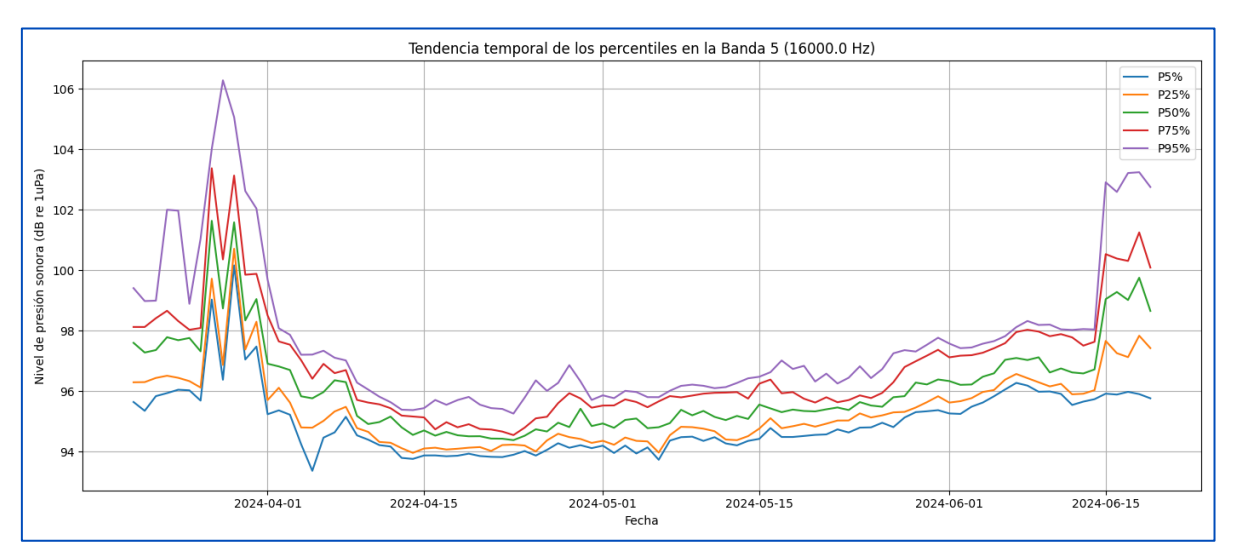


Gráfico 12. Serie temporal de los niveles de SPL en los percentiles 5, 25, 50, 75 y 95, de la banda de 16 KHz, calculados para una ventana temporal de integración de 1 hora. Periodo de primavera.

Los valores detectados en las bandas más altas, de 8 y 16 kHz, son valores de SPL algo altos en relación a lo que se cabría esperar en una zona como la estudiada. Habría que estudiar más en profundidad la zona para llegar a alguna conclusión que explique estos valores.

A continuación, en la Tabla 6 se muestran los valores de los diferentes niveles de presión sonora para el conjunto del periodo de primavera:







Tabla 6. Valores medios de presión sonora durante el periodo de primavera.

Parámetros	Valores (dB re 1μPa)			
Banda 1 (63 Hz)				
Percentil 5%	83			
Percentil 25%	84			
Percentil 50%	84.9			
Percentil 75%	85.9			
Percentil 95%	91.6			
Banda 2	(125 Hz)			
Percentil 5%	78.5			
Percentil 25%	79.7			
Percentil 50%	80.9			
Percentil 75%	83.1			
Percentil 95%	91.3			
Banda 3	(2000 Hz)			
Percentil 5%	78.3			
Percentil 25%	25% 80.8			
Percentil 50%	84.8			
Percentil 75%	88.5			
Percentil 95%	95.7			
Banda 4	(8000 Hz)			
Percentil 5%	93.6			
Percentil 25%	95			
Percentil 50%	96.2			
Percentil 75%	97.8			
Percentil 95%	100.2			
Banda 5 (16000 Hz)				
Percentil 5%	ntil 5% 94.1			
Percentil 25%	94.8			
Percentil 50%	95.7			
Percentil 75%	96.9			
Percentil 95%	100			

Los valores de nivel de presión sonora para las bandas de 8kHz y 16 kHz son mayores que los de baja frecuencia. Aunque los valores no son excesivamente altos, es un comportamiento anómalo.

5.3. Periodo de verano

Para el periodo verano, se han procesado los datos desde el día 5 de agosto hasta el 6 de septiembre, siendo un total de un mes de datos acústicos medidos en continuo. Se observan valores de nivel de presión sonora bastante estables a lo largo del tiempo.









La variación de los niveles de presión sonora en las diferentes bandas de tercio de octavas estudiadas (Gráfico 13) indica que las bandas de 63 y 125 Hz son las más variables. Estas frecuencias bajas se asocian comúnmente a fuentes como motores de embarcaciones o fenómenos naturales de baja frecuencia.

La banda de 2000 Hz tiene valores de SPL más altos que las bandas de baja frecuencia y es más estable, probablemente esté relacionada con fuentes biológicas.

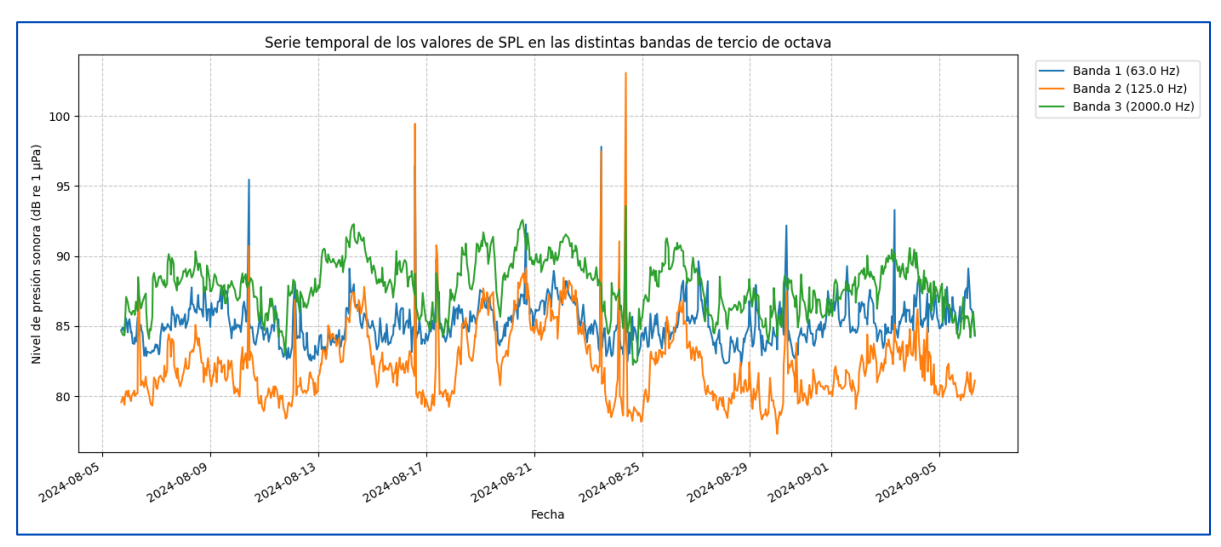


Gráfico 13. Serie temporal de los niveles de presión sonora en las diferentes bandas de tercio de octava, durante el periodo de verano.

A continuación, se representan las variaciones de los valores de SPL para los diferentes percentiles en cada una de las bandas estudiadas.

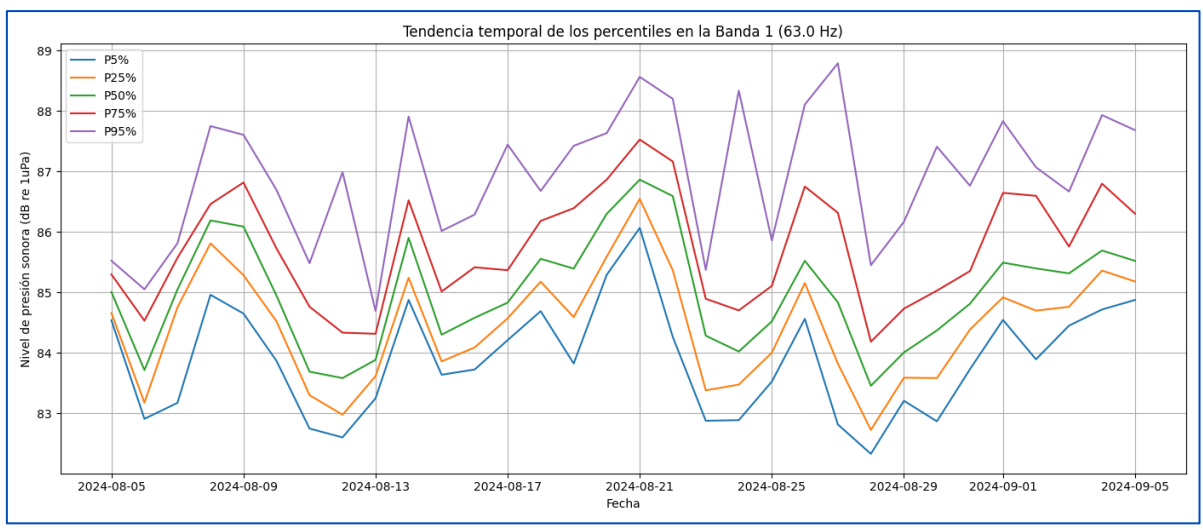


Gráfico 14. Serie temporal de los niveles de SPL en los percentiles 5, 25, 50, 75 y 95, de la banda de 63Hz, calculados para una ventana temporal de integración de 1 hora. Periodo de verano.







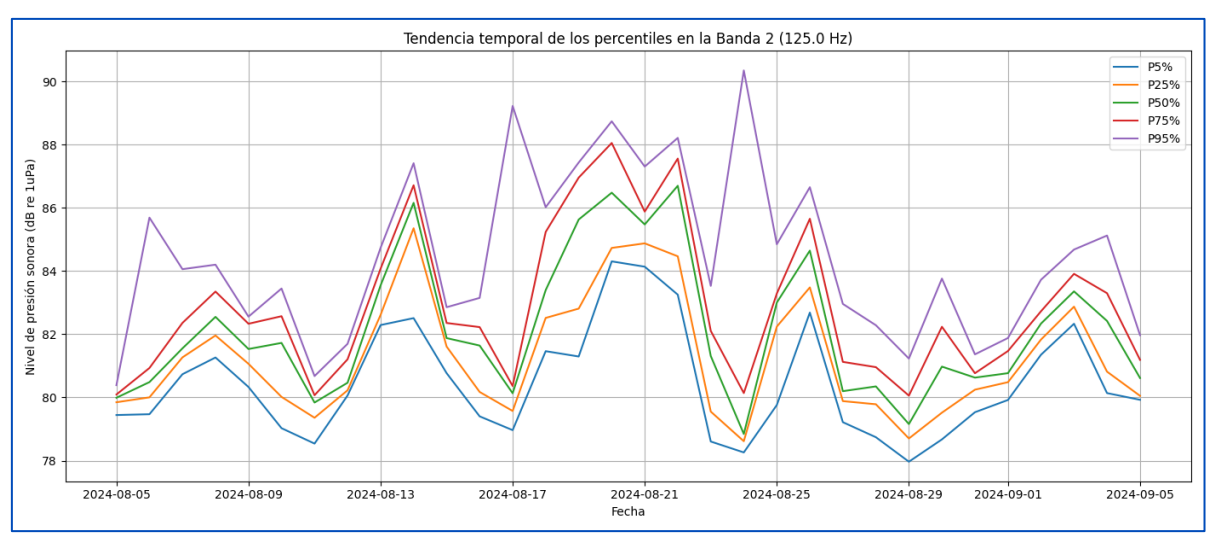


Gráfico 15. Serie temporal de los niveles de SPL en los percentiles 5, 25, 50, 75 y 95, de la banda de 125Hz, calculados para una ventana temporal de integración de 1 hora. Periodo de verano.

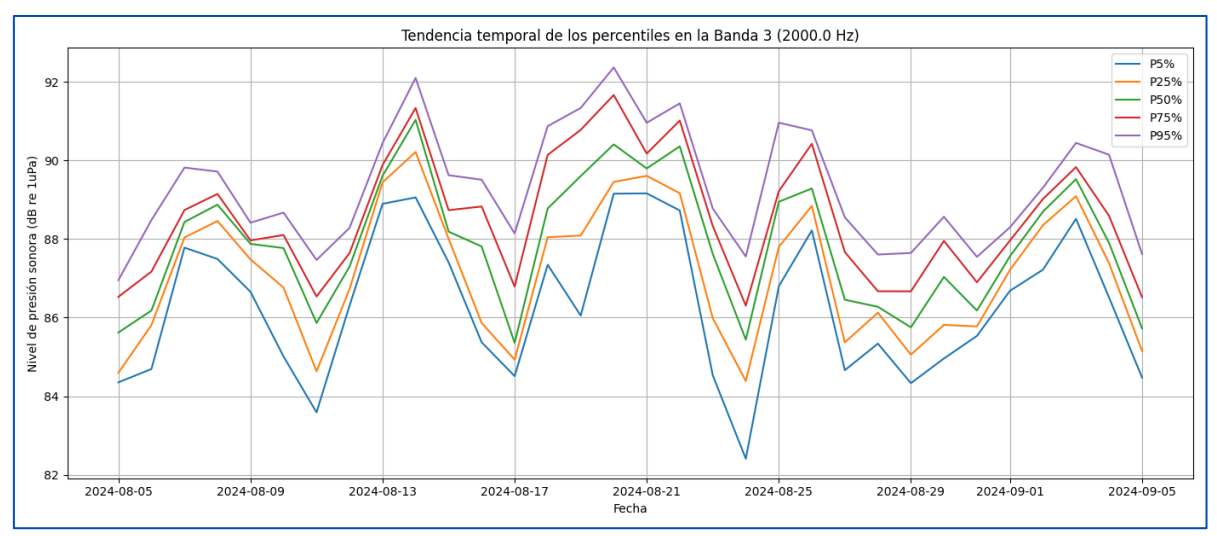


Gráfico 16. Serie temporal de los niveles de SPL en los percentiles 5, 25, 50, 75 y 95, de la banda de 2 KHz, calculados para una ventana temporal de integración de 1 hora. Periodo de verano.

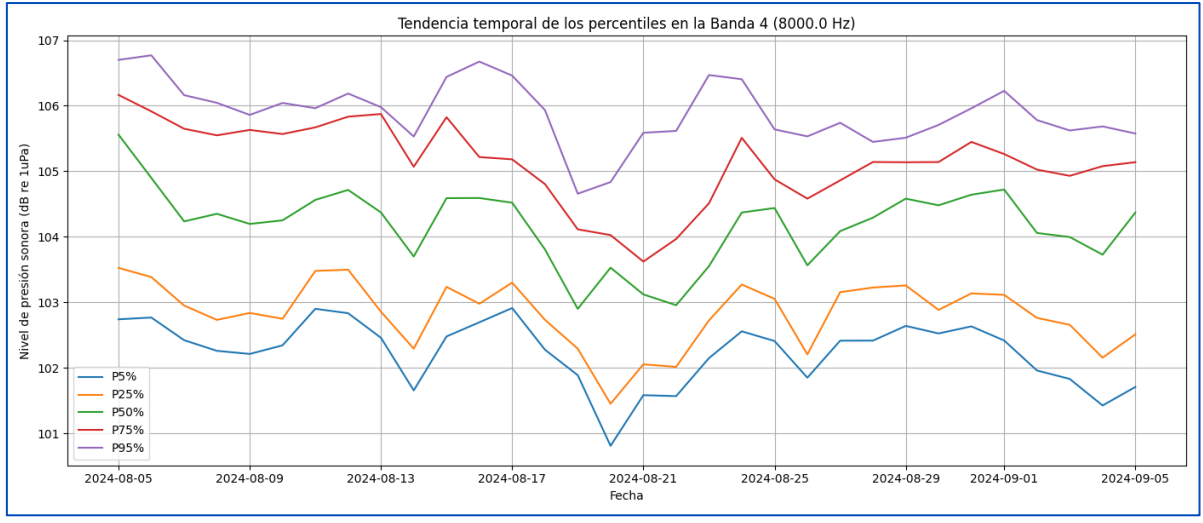


Gráfico 17. Serie temporal de los niveles de SPL en los percentiles 5, 25, 50, 75 y 95, de la banda de 8 KHz, calculados para una ventana temporal de integración de 1 hora. Periodo de verano.











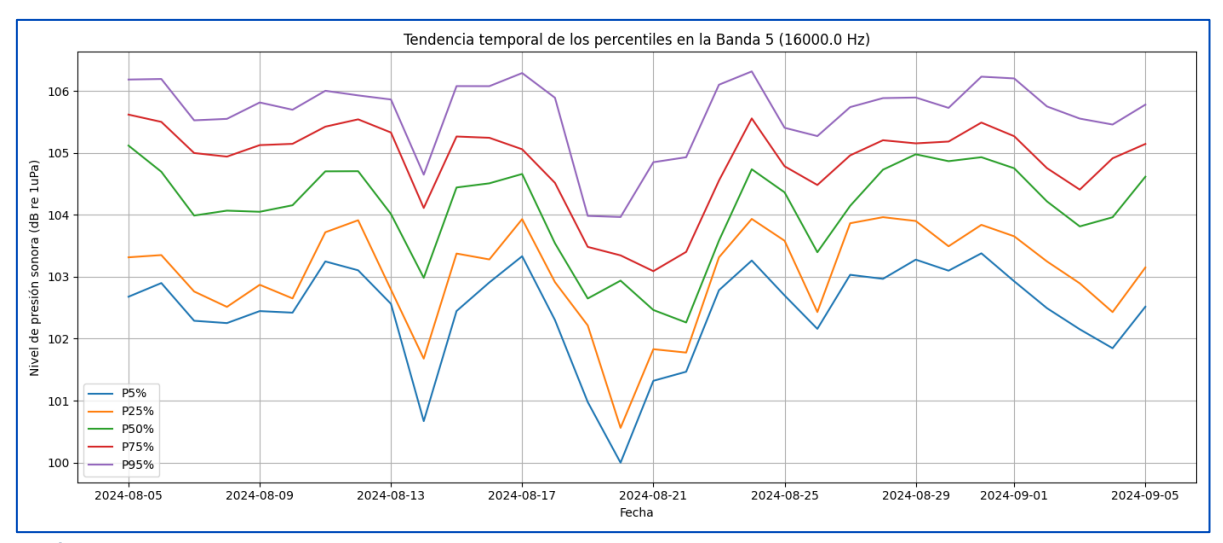


Gráfico 18. Serie temporal de los niveles de SPL en los percentiles 5, 25, 50, 75 y 95, de la banda de 16 KHz, calculados para una ventana temporal de integración de 1 hora. Periodo de verano.

Los valores detectados en las bandas más altas, de 8 y 16 kHz, son valores de SPL algo altos en relación a lo que se cabría esperar en una zona como la estudiada. Habría que estudiar más en profundidad la zona para llegar a alguna conclusión que explique estos valores.

A continuación, en la Tabla 7 se muestran los valores de los diferentes niveles de presión sonora para el conjunto del periodo de verano:

Tabla 7. Valores medios de presión sonora durante el periodo de verano.

Parámetros	Valores (dB re 1μPa)			
Banda 1 (63 Hz)				
Percentil 5%	83			
Percentil 25%	84.2			
Percentil 50%	85			
Percentil 75%	86.2			
Percentil 95%	87.7			
Banda	2 (125 Hz)			
Percentil 5%	78.9			
Percentil 25%	80.3			
Percentil 50%	81.8			
Percentil 75%	83.5			
Percentil 95%	87			
Banda :	3 (2000 Hz)			
Percentil 5%	84.7			
Percentil 25%	86.5			
Percentil 50%	87.9			
Percentil 75%	89.2			
Percentil 95% 90.9				









Parámetros	Valores (dB re 1µPa)			
Banda 4 (8000 Hz)				
Percentil 5%	101.8			
Percentil 25%	102.7			
Percentil 50%	103.8			
Percentil 75%	105.2			
Percentil 95%	106.1			
Banda 5 (16000 Hz)				
Percentil 5%	101.8			
Percentil 25%	103			
Percentil 50%	104			
Percentil 75%	105			
Percentil 95%	106			

Los valores de nivel de presión para las bandas de 8kHz y 16 kHz son mayores que los de baja frecuencia. Aunque los valores no son excesivamente altos, es un comportamiento anómalo.









6. CONCLUSIONES

Una vez estudiados ambos periodos, realizamos una comparación para apreciar posibles diferencias entre ambas estaciones.

En la banda de 63 Hz, los niveles de ruido son prácticamente estables entre estaciones, con diferencias menores a 1 dB. En la banda de 125 Hz, aunque los percentiles bajos y medianos aumentan ligeramente (≈1 dB), la media del percentil 95% disminuye de 91.3 dB en primavera a 87 dB en verano, lo que indica menor ocurrencia de eventos puntuales intensos en esa banda.

En la banda de 2000 Hz se observa un incremento claro en todos los percentiles durante el verano. La media del percentil 5% pasa de 78.3 a 84.7 dB, lo que sugiere que incluso los niveles más bajos son más elevados en esta estación. Este tipo de frecuencias puede relacionarse con embarcaciones más pequeñas, ecosondas u otras actividades humanas que se intensifican en verano.

En las frecuencias más altas (8000 Hz y 16000 Hz) los valores obtenidos son elevados en comparación con lo que se esperaría de una zona como la estudiada, de forma que habría que realizar más estudios para llegar a alguna conclusión que explique estos valores.

Por otro lado, los valores de nivel de presión para las bandas de 8kHz y 16 kHz son mayores que los de baja frecuencia. Aunque los valores no son excesivamente altos, es un comportamiento anómalo.

Con los datos obtenidos, se puede concluir que el periodo de primavera parece estar marcado por eventos acústicos puntuales de mayor intensidad en frecuencias bajas. No obstante, no existen diferencias significativas entre ambas estaciones.

Tabla 8. Tabla comparativa de los valores medios de SPL de las estaciones de primavera y verano de 2024.

	Valores (dB re 1μPa)			
Parámetros	Primavera (20/03/2024 - 20/06/2024)	Verano (05/08/2024 - 06/09/2024)		
	Banda 1 (63.0 Hz)	<u> </u>		
Percentil 5%	83	83		
Percentil 25%	84	84.2		
Percentil 50%	84.9	85		
Percentil 75%	85.9	86.2		
Percentil 95%	91.6	87.7		
Banda 2 (125 Hz)				
Percentil 5%	78.5	78.9		
Percentil 25%	79.7	80.3		
Percentil 50%	80.9	81.8		











	Valores (dB re 1μPa)				
Parámetros	Primavera (20/03/2024 - 20/06/2024)	Verano (05/08/2024 - 06/09/2024)			
Percentil 75%	83.1	83.5			
Percentil 95%	91.3	87			
	Banda 3 (2000 Hz)				
Percentil 5%	78.3	84.7			
Percentil 25%	80.8	86.5			
Percentil 50%	84.8	87.9			
Percentil 75%	88.5	89.2			
Percentil 95%	95.7	90.9			
	Banda 4 (8000 Hz)				
Percentil 5%	93.6	101.8			
Percentil 25%	95	102.7			
Percentil 50%	96.2	103.8			
Percentil 75%	97.8	105.2			
Percentil 95%	100.2	106.1			
	Banda 5 (16000 Hz)				
Percentil 5%	94.1	101.8			
Percentil 25%	94.8	103			
Percentil 50%	95.7	104			
Percentil 75%	96.9	105			
Percentil 95%	100	106			

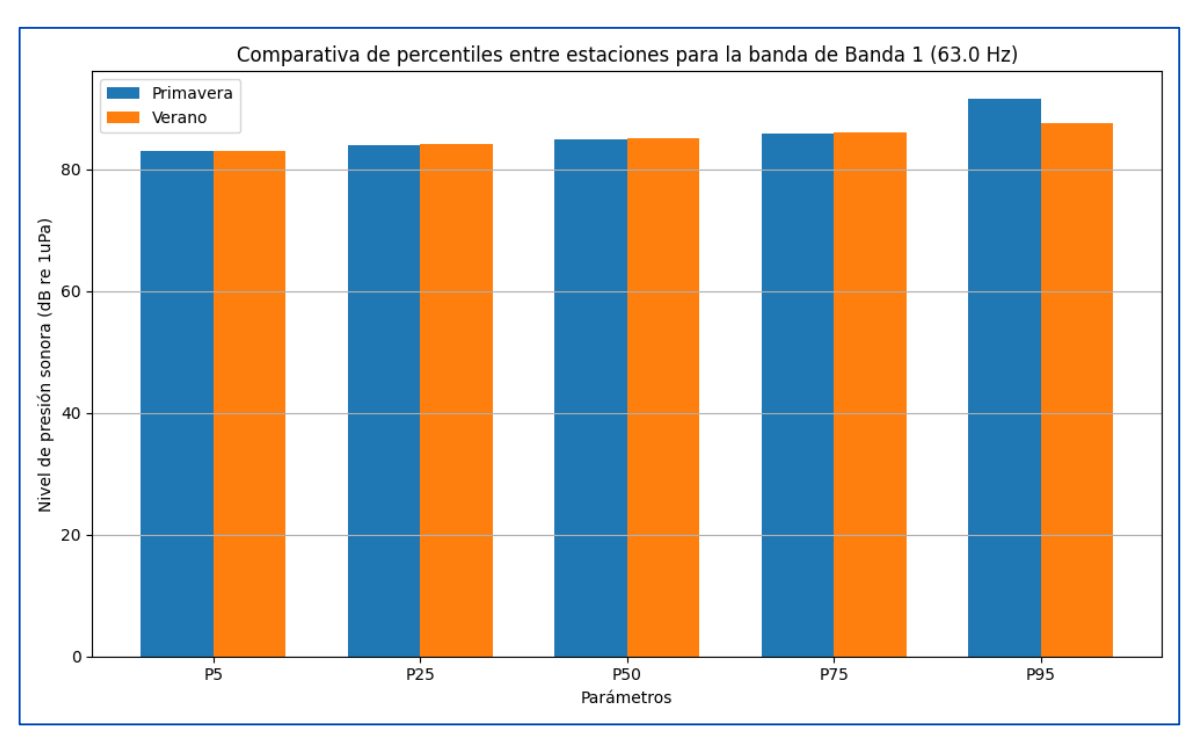


Gráfico 19. Comparativa de las medias de SPL para los diferentes percentiles en la banda de 63 Hz.











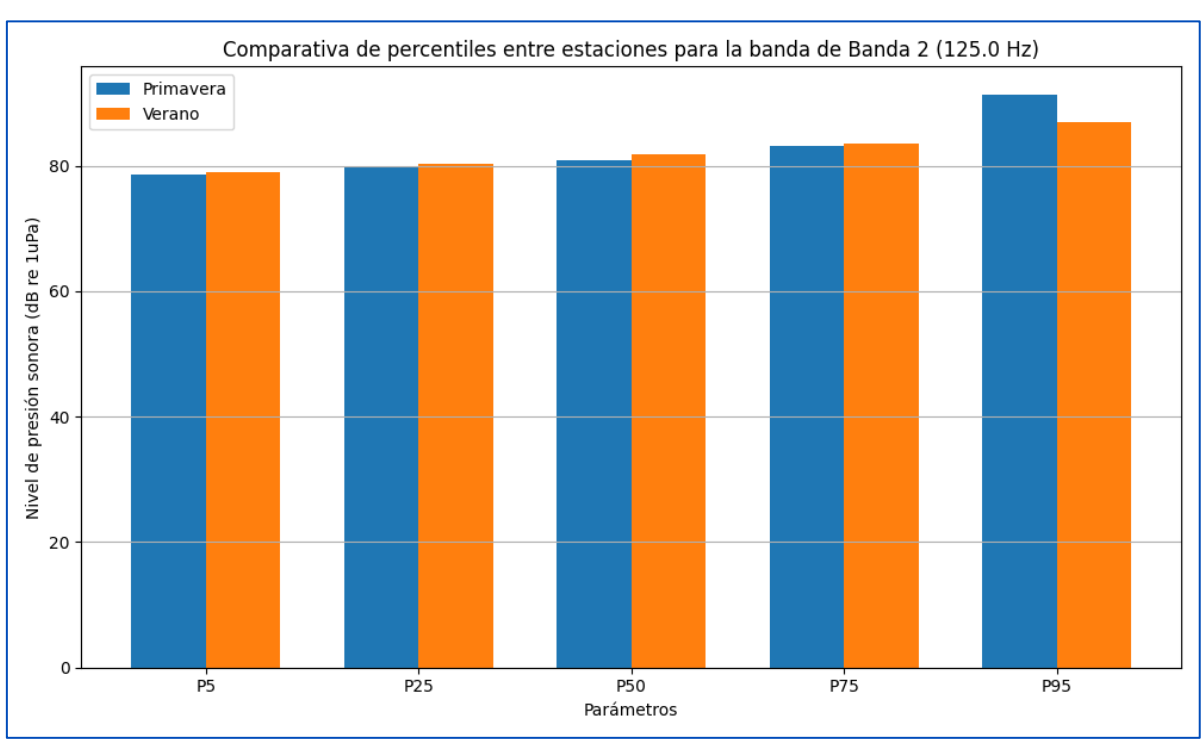


Gráfico 20. Comparativa de las medias de SPL para los diferentes percentiles en la banda de 125 Hz.

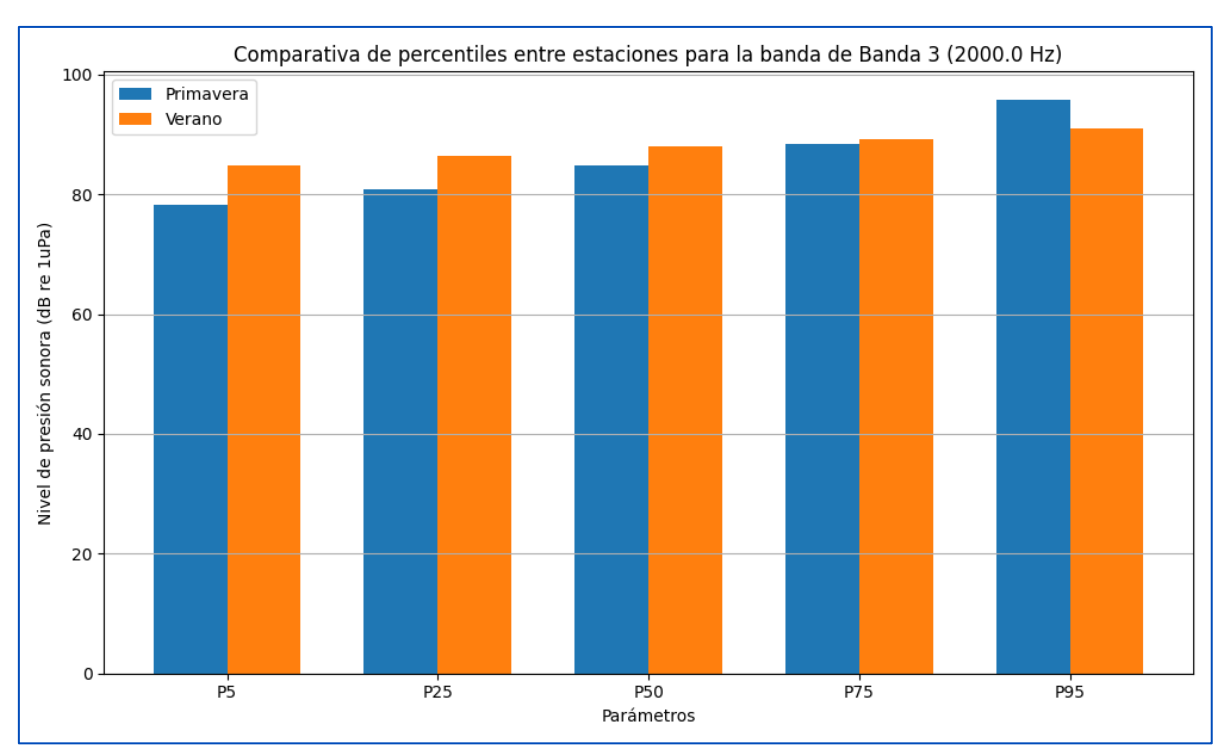


Gráfico 21. Comparativa de las medias de SPL para los diferentes percentiles en la banda de 2 kHz.











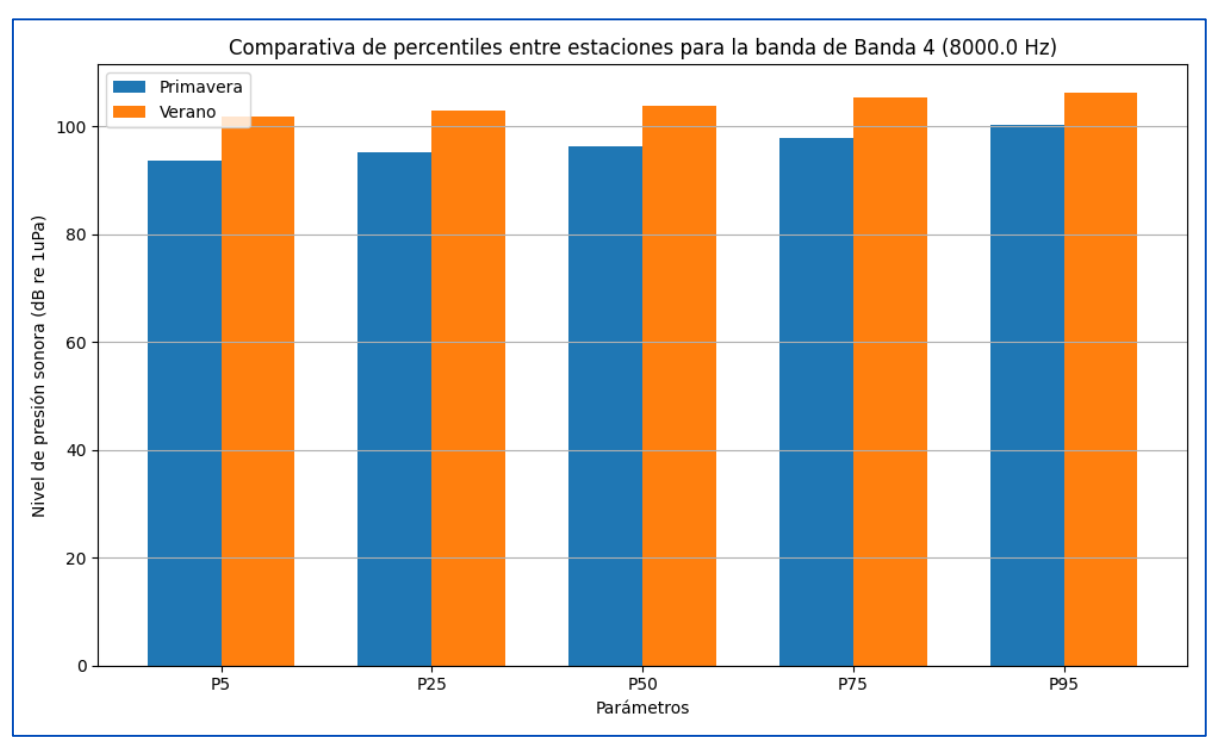


Gráfico 22. Comparativa de las medias de SPL para los diferentes percentiles en la banda de 8 kHz.

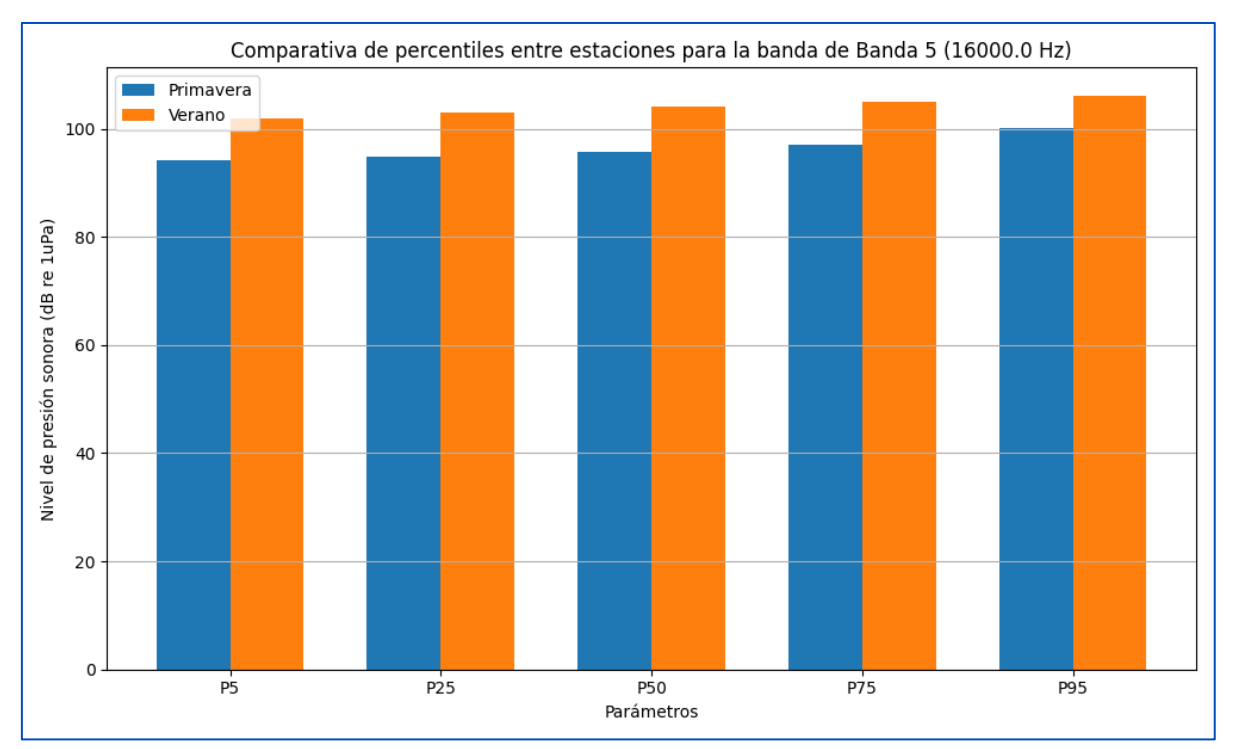


Gráfico 23. Comparativa de de las medias de SPL para los diferentes en la banda de 16 kHz.







7. BIBLIOGRAFÍA

- Buckingham, M. J., & Richardson, M. D. (2002). On tone-burst measurements of sound speed and attenuation in sandy marine sediments. *IEEE Journal of Oceanic Engineering*, *27*(3), 429–453. https://doi.org/10.1109/JOE.2002.1040929
- Erbe, C., Marley, S. A., Schoeman, R. P., Smith, J. N., Trigg, L. E., & Embling, C. B. (2019). The Effects of Ship Noise on Marine Mammals—A Review. *Frontiers in Marine Science*, 6(October). https://doi.org/10.3389/fmars.2019.00606
- J. Swartz, A., H. Clark IV, A., & Olson, D. (2023). *A granular-based approach to the acoustic properties of marine sediments* (Issue June). Naval Postgraduate School.
- Kibblewhite, A. C. (1989). Attenuation of sound in marine sediments: A review with emphasis on new low-frequency data. *Journal of the Acoustical Society of America*, 86(2), 716–738. https://doi.org/10.1121/1.398195
- MarineTraffic.com. (2023, December 20). Marine Traffic.
- Martín-García, L., Sangil, C., Brito, A., & Barquín-Diez, J. (2015). Identification of conservation gaps and redesign of island marine protected areas. *Biodiversity and Conservation*, 24(3), 511–529. https://doi.org/10.1007/s10531-014-0833-0
- Ministerio de Agricultura, Alimentación y Medio Ambiente (2012). Documento técnico sobre impactos y mitigación de la contaminación acústica marina. Madrid. 146 pp.
- Sánchez, M; Madrid, E; Felis, I; Martínez, R. (2020) Guía de buenas prácticas para la medición de sonido submarino. Fundación Biodiversidad y CTN.
- Thomsen, F., Ram, M., Chreptowicz, M., Nocon, M., & Balicka, I. (2023). Noise modelling and environmental risk assessment of a geophysical survey and its impact on herring and minke whales in Irish coastal waters. In *Marine Institute, Galway* (Issue October).









8. LEGISLACIÓN

Decisión (UE) 2017/848 de la comisión de 17 de mayo de 2017, por la que se establecen los criterios y las normas metodológicas aplicables al buen estado medioambiental de las aguas marinas, así como las especificaciones y métodos normalizados de seguimiento de evaluación, y por la que se deroga la Decisión 2010/447/UE.

Directiva 2008/56/ce del Parlamento Europeo y del Consejo de 17 de junio de 2008 por la que se establece un marco de acción comunitaria para la política del medio marino.

Ley 41/2010 de 29 de diciembre, de protección del medio marino.







9. ANEXO I. CARTOGRAFÍA







